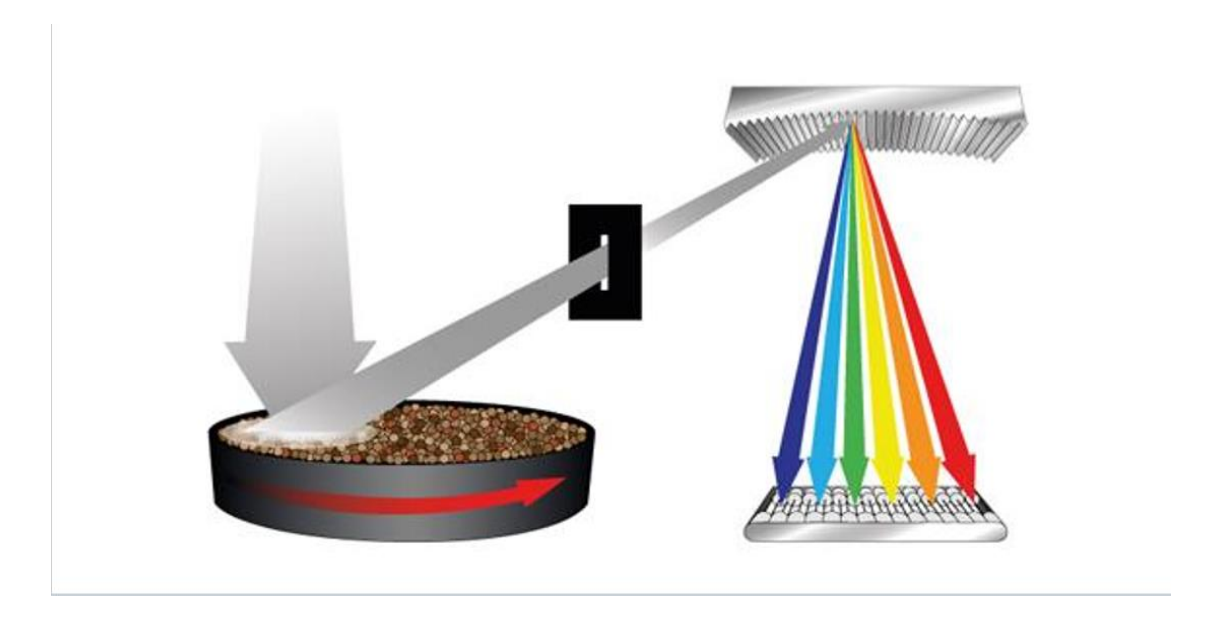


Inovação no Controle de Qualidade de Alimentos



Renata Cerqueira Especialista em Ciência dos Alimentos **São Paulo** 19/10/2018



Palestrante

Renata Cerqueira

Técnica Química, Farmacêutica-Bioquímica, com especializações em Qualidade e Produtividade, Ciência e Tecnologia de Alimentos, Cosméticos e Segurança dos Alimentos e mestranda em Toxicologia de Alimentos.

Atuou na Grace do Brasil, Hersheys, IFF, Firmenich, Arcade, Robertet e nas áreas de Pesquisa e Desenvolvimento, Controle e Garantia da Qualidade e atualmente trabalha na Cargill.



Conteúdo

- □ Era da Qualidade
- □ Controle de Qualidade
- ☐ Fundamentos da Espectroscopia no Infravermelho Próximo (NIR)
- Aplicação de análises físico-químicas de alimentos no NIR

Fundamentos da Espectroscopia no Infravermelho (MIR)



ERAS DA QUALIDADE

os X ^{III} Era Pré	1900	930	950	970	Século XXI
Revolução Industrial e	Era da Inspeção	Era do Controle Estatístico	Era da Garantia Da Qualidade	Era da Gestão Estratégica	Presente e Futuro da
Revolução Industrial	in an improject	Da Qualidade	Zu (simonos	Da Qualidade	Gestão da Qualidade







Eras da Qualidade



1. Era da Inspeção

- > Produtos são verificados um a um
- > Cliente participa da Inspeção
- > Inspeção encontra defeitos, mas não produz qualidade

2. Era do Controle Estatístico

- > Produtos são verificados por amostragem
- > Departamento especializado faz inspeção da qualidade
 - ➤ Ênfase na localização de defeitos





i

3. Era da Qualidade Total

- ➤ Processo produtivo é controlado
- Toda a empresa é responsável
- Énfase na prevenção dos defeitos
- > Qualidade assegurada



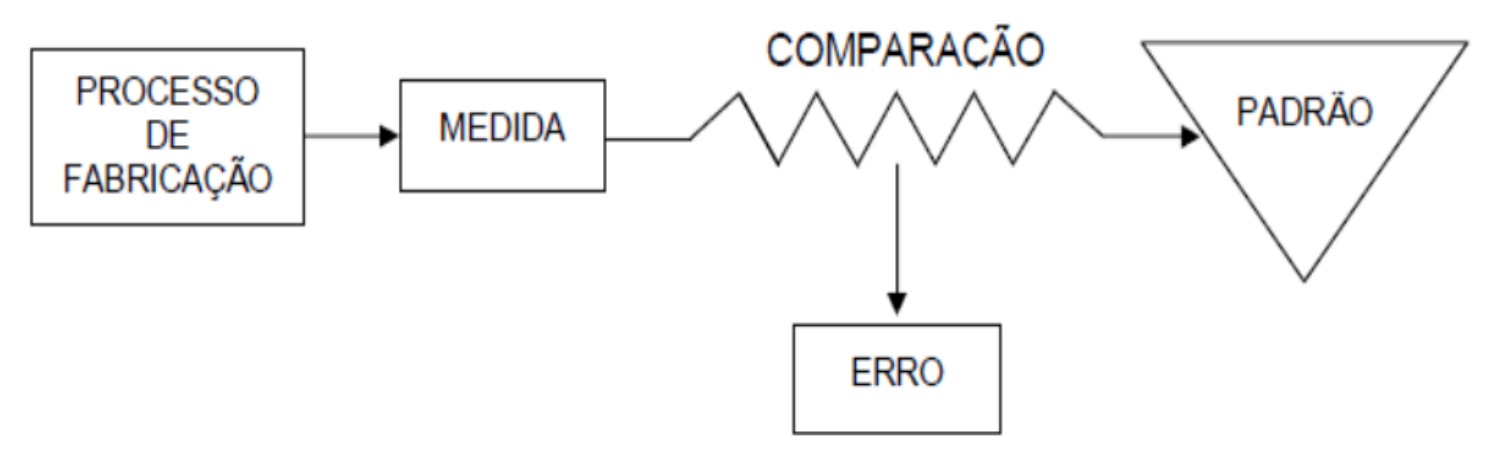








Processo Analítico



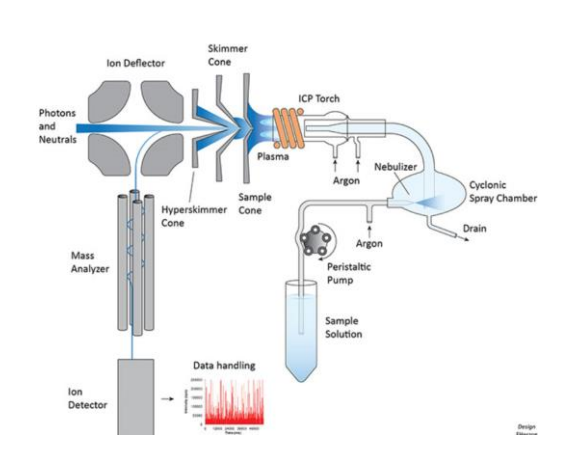


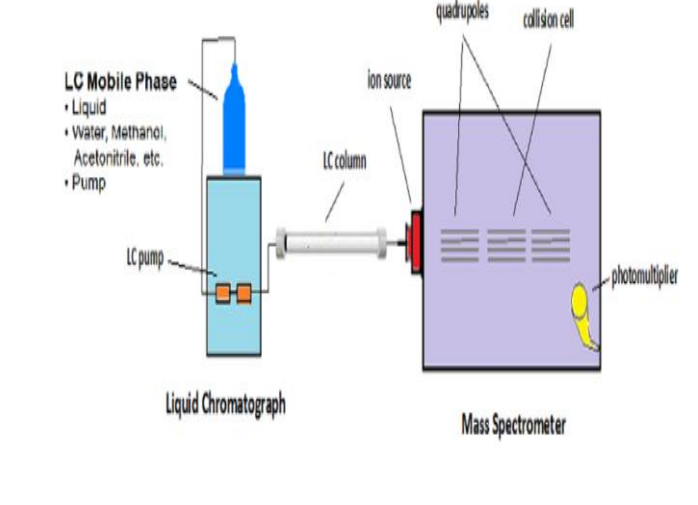


Requisitos Analíticos



- □ Amostras;
- Equipamentos analíticos;
- ☐ Geração de resíduos;
- Alta resolução para atingir limites estatuários, regulatórios e clientes;
- ☐ Mão de obra altamente qualificada;
- Caso haja reprovação, alta taxa de descarte e produto não conforme









Desafios

- ☐ É possível o operador controlar a qualidade do produto?
- ☐ É possível não utilizar solvente?
- É possível não preparar amostras?
- ☐ É possível obter vários parâmetros em minutos?







Leituras NIR



https://www.youtube.com/watch?v=SC4xuv LqHnA https://www.youtube.com/watch?v=CAAKWT1TFfs

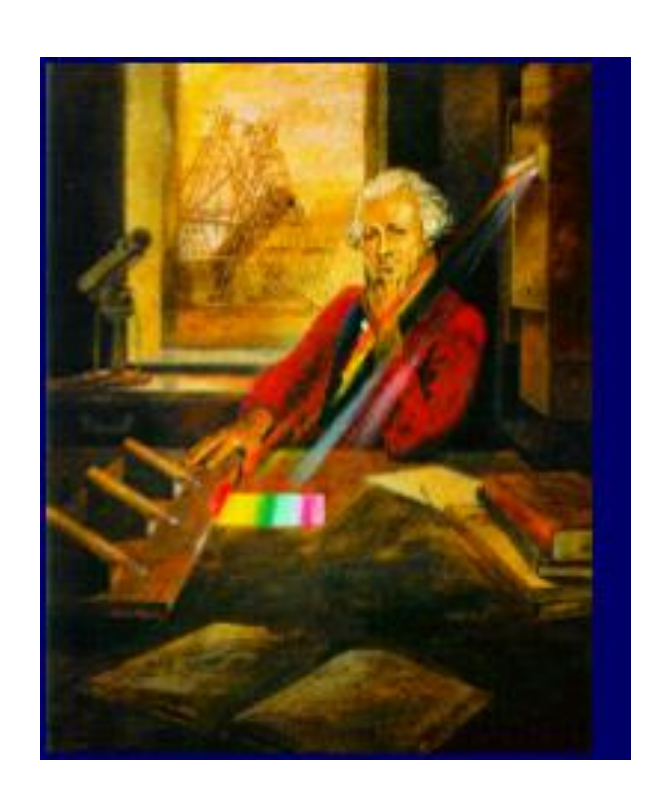
https://www.youtube.com/watch?v=vh-kmJPTgPY

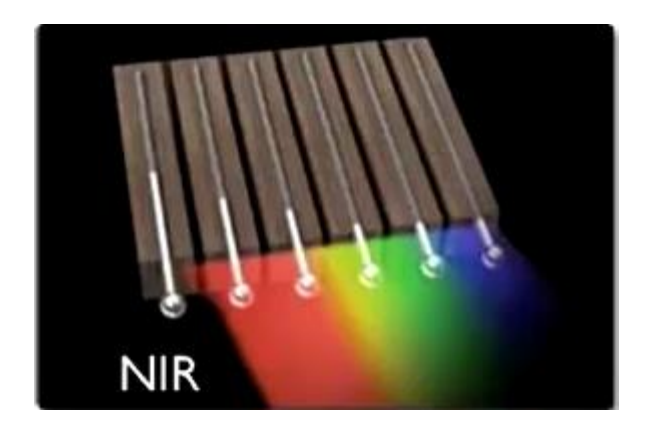
https://www.youtube.com/watch?v=ak5M9qiaRzM

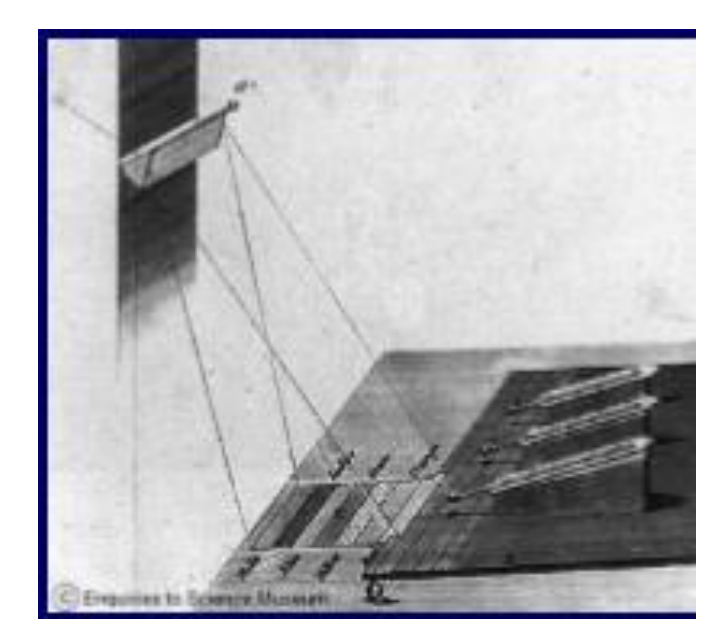




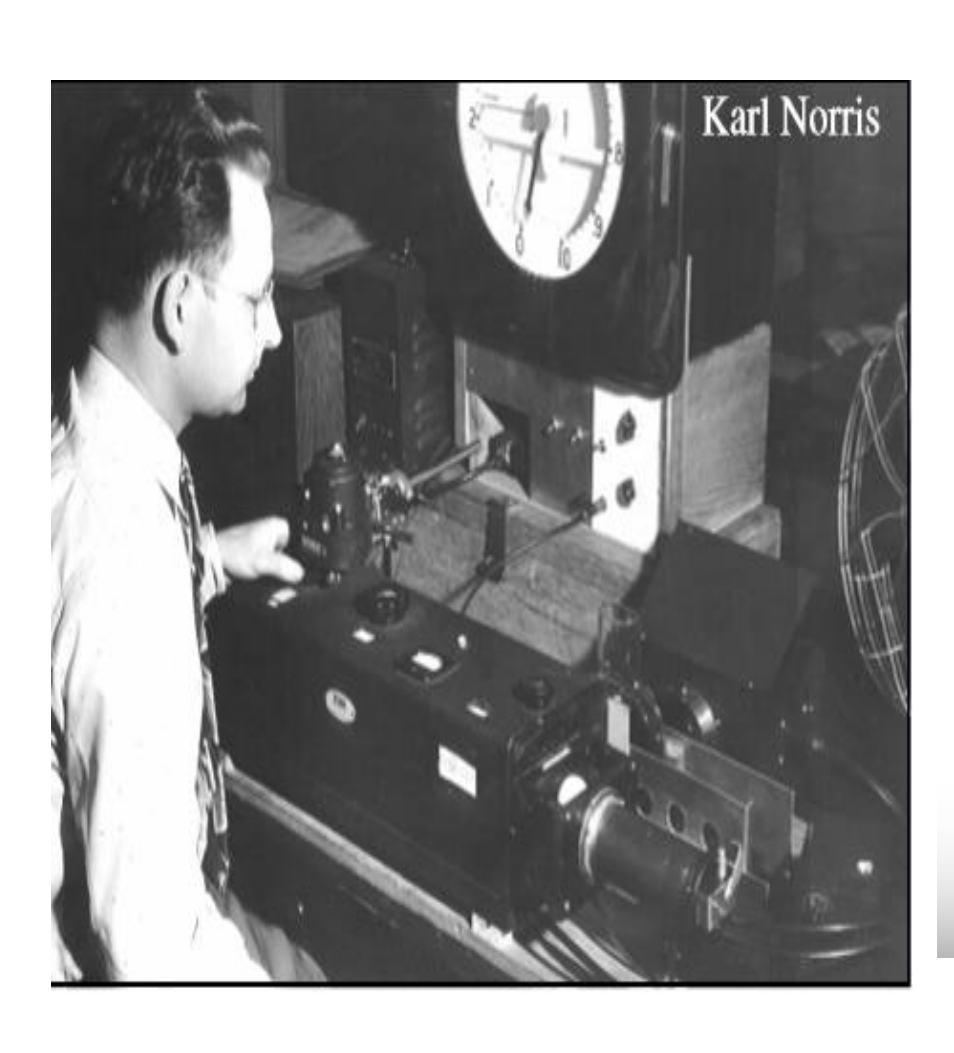






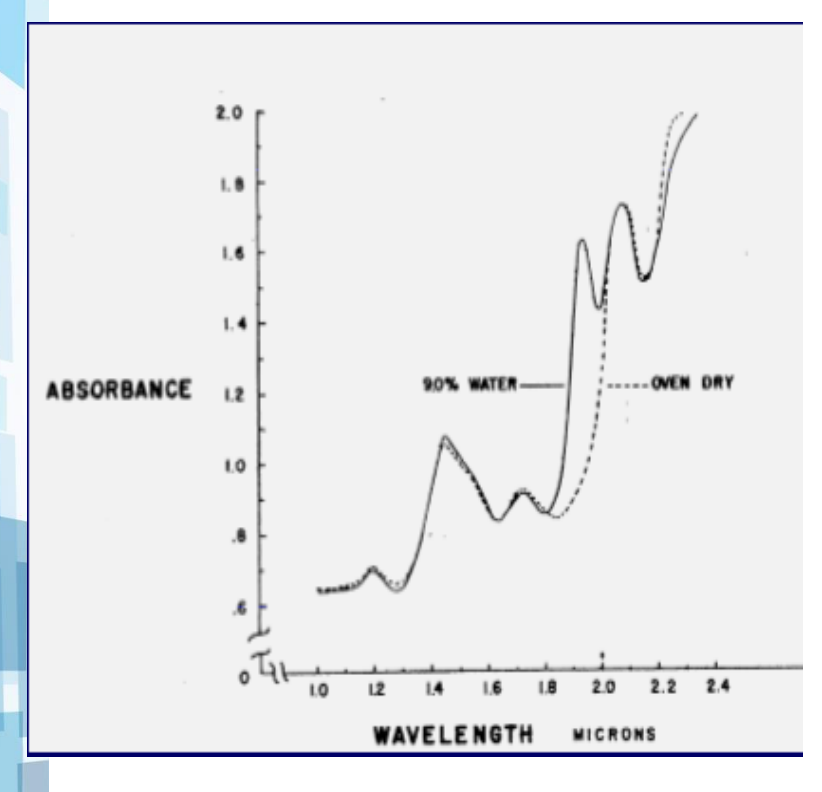






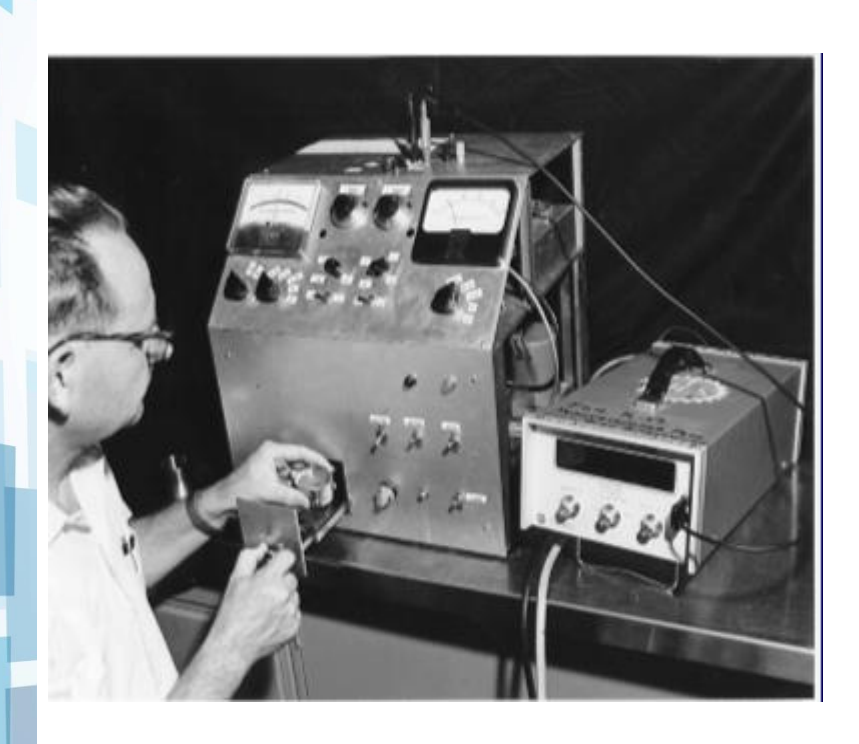
- A região do NIR foi descoberta em 1800;
- Redescoberta e desenvolvida no início de 1950 por Karl Norris;
- Colocada em prática em 1970 por Phil Williams;
- Primeiro uso na indústria de cereais – umidade;
- Primeiro livro sobre espectroscopia NIR foi lançado em 1987 por Brian Osborne.

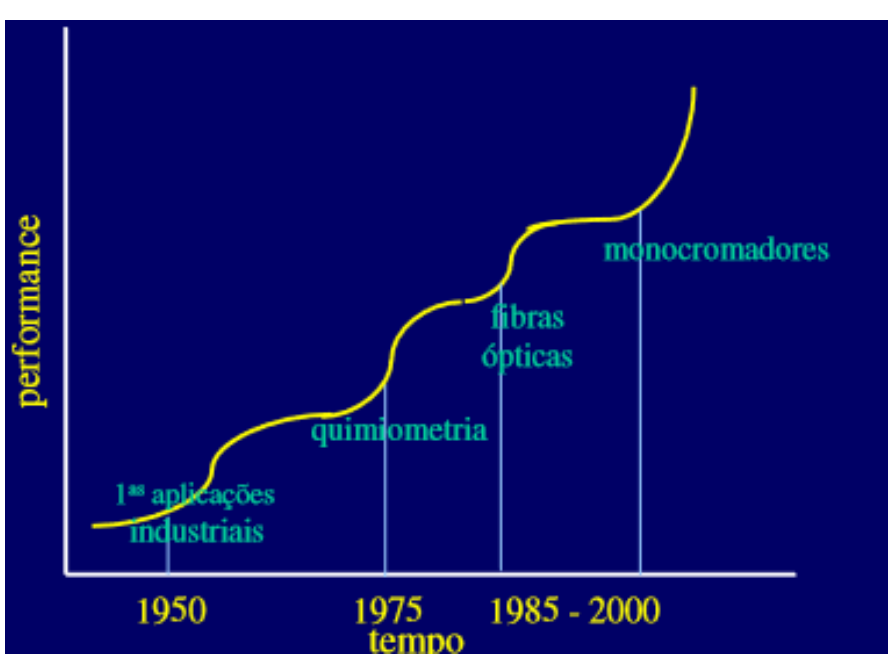






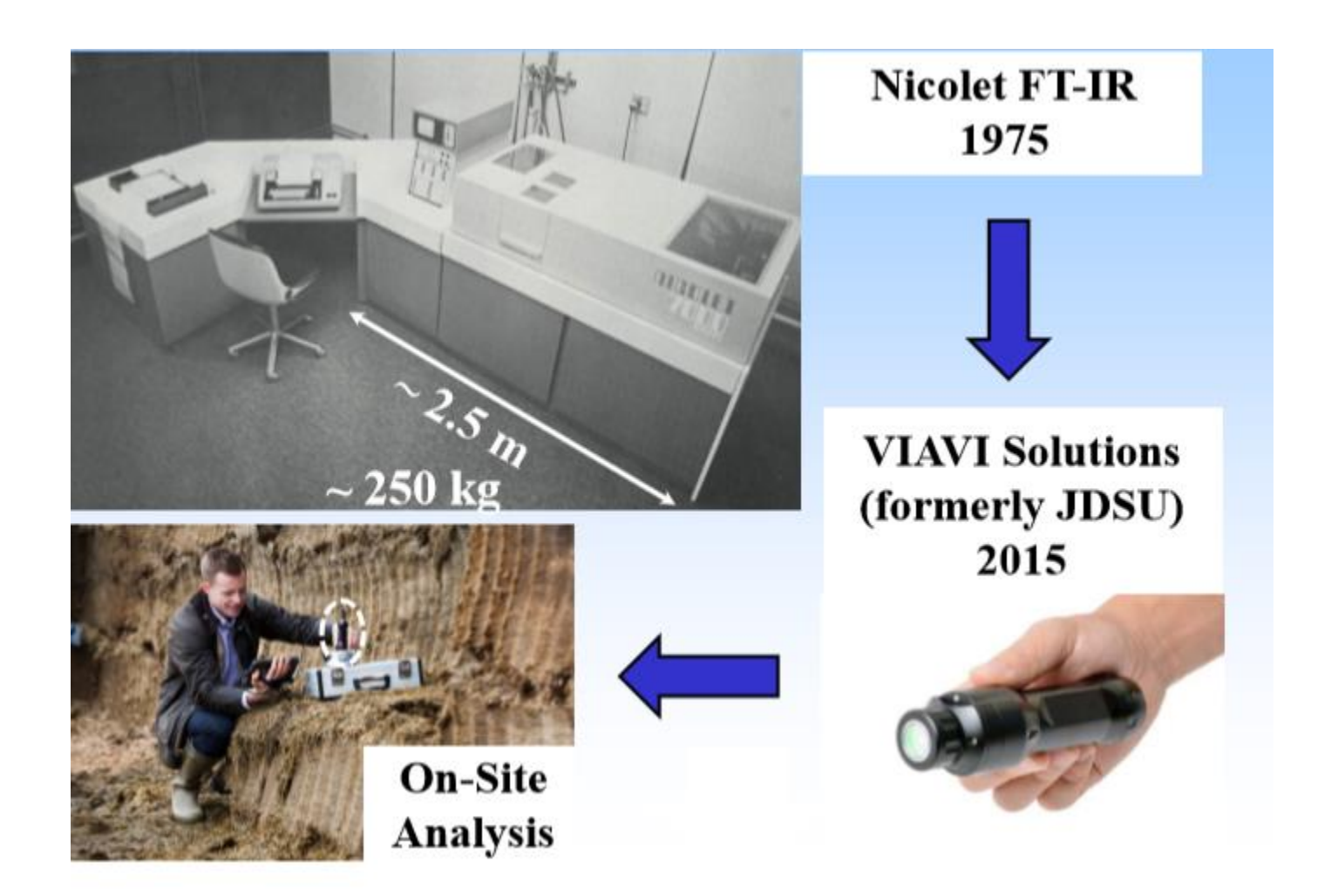








Evolução da Espectroscopia



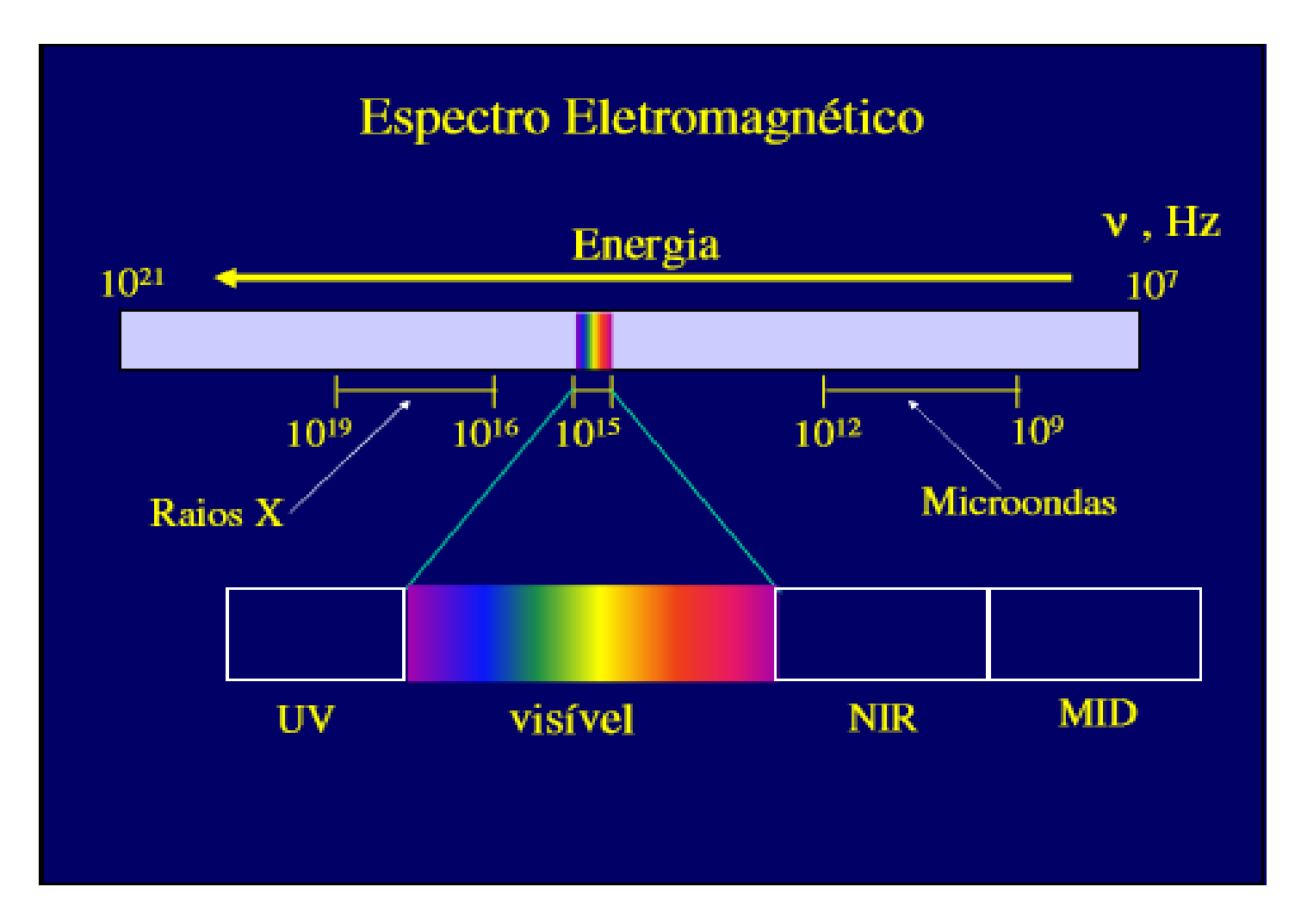


Espectroscopia





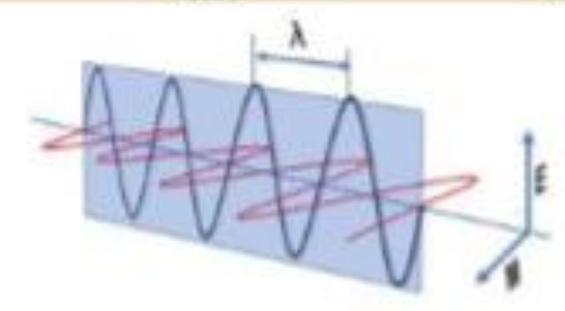
Espectroscopia

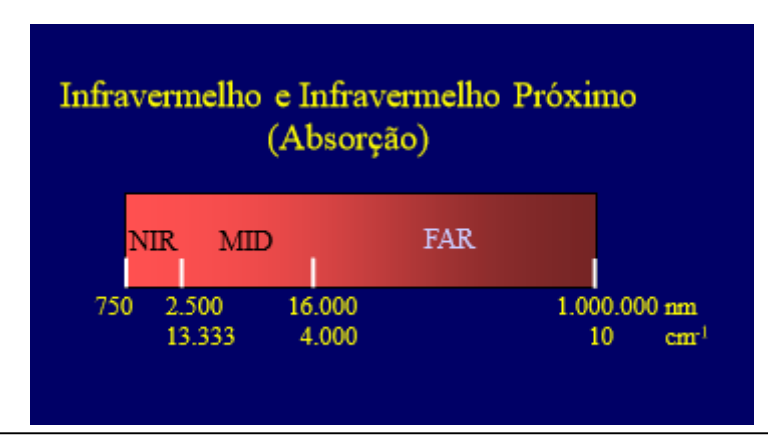




Espectroscopia

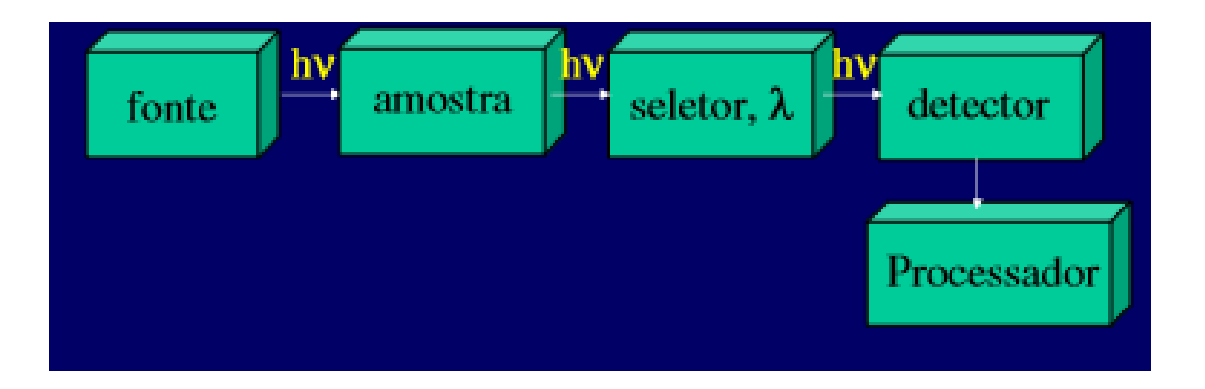
_						
	THz	MIR	NIR	VISÍVEL/UV		
λ, nm	100.000	10.000	1.000	100		
cm ⁻¹	100	1.000	10.000	100.000		
Hz	3,0 x 1012	3,0 x 10 ¹³	3,0 x 10 ¹⁴	3,0 x 10 ¹⁵		
kJ mol-1	1,2	12	120	1200		
eV	1,2 x 10 ⁻³	0,12	1,24	1,24 x 10 ³		
		CAN PROVIDE		- 10 (7 10 10 10 10 10 10 10 10 10 10 10 10 10		

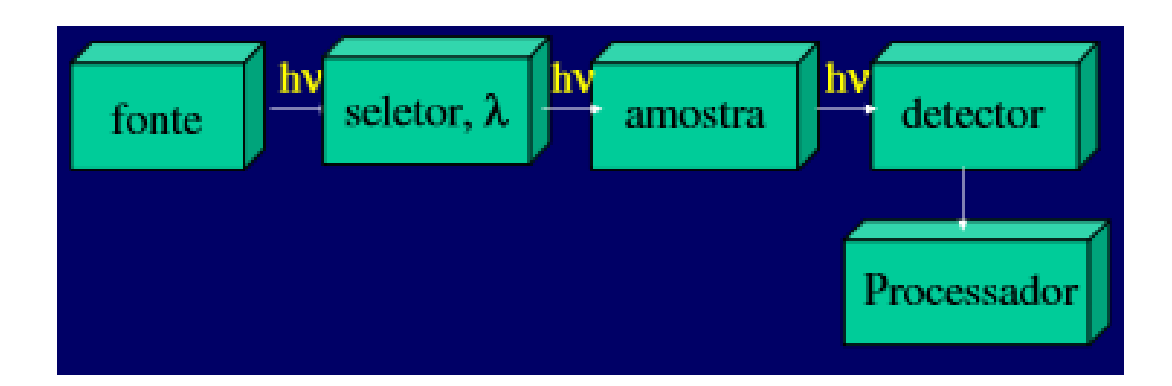






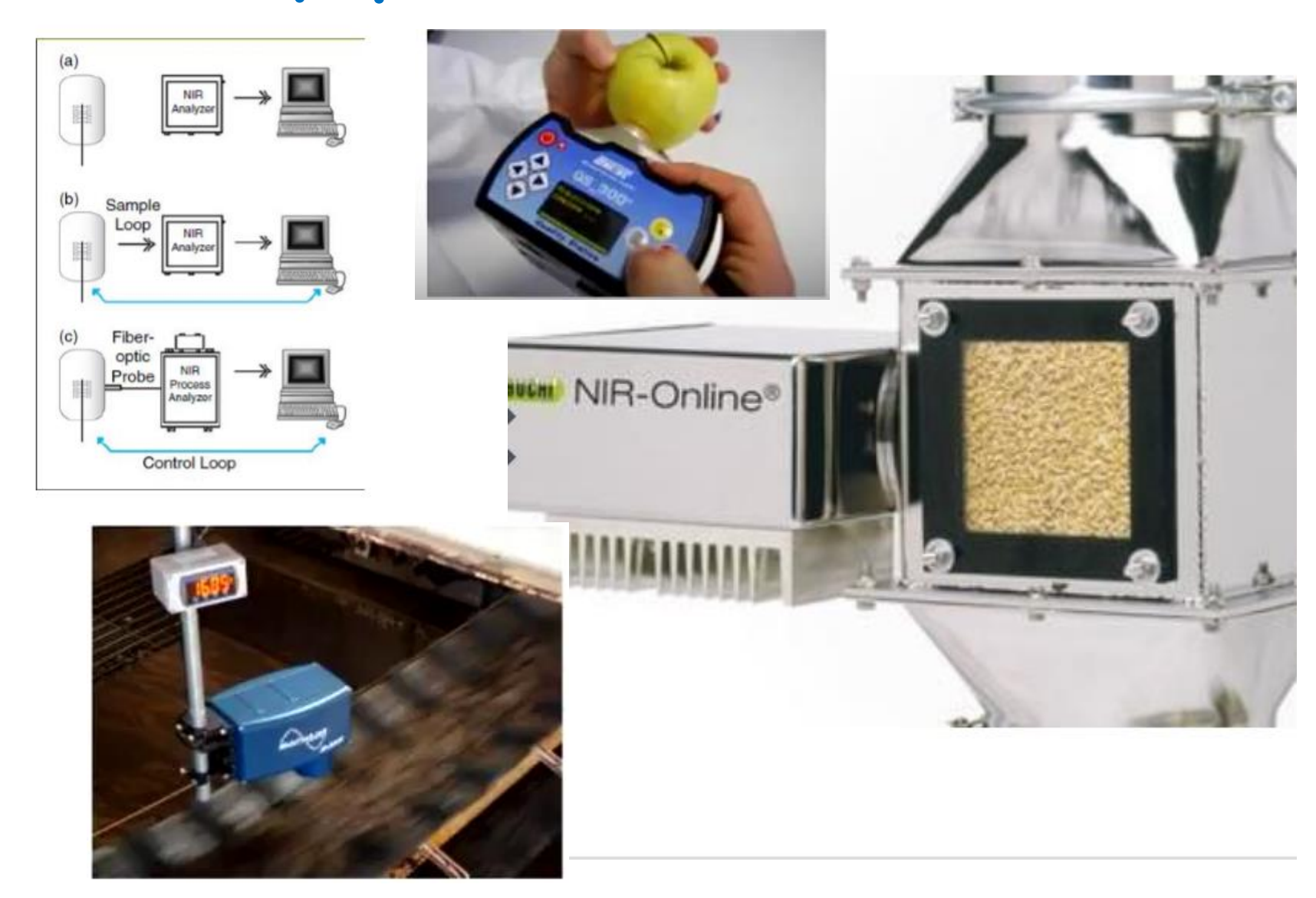
Componentes Básicos do Equipamento







Equipamentos de Processo





Medidas Espectroscópicas NIR

MIR - 4.000 - 400 cm-1

Transições Fundamentais

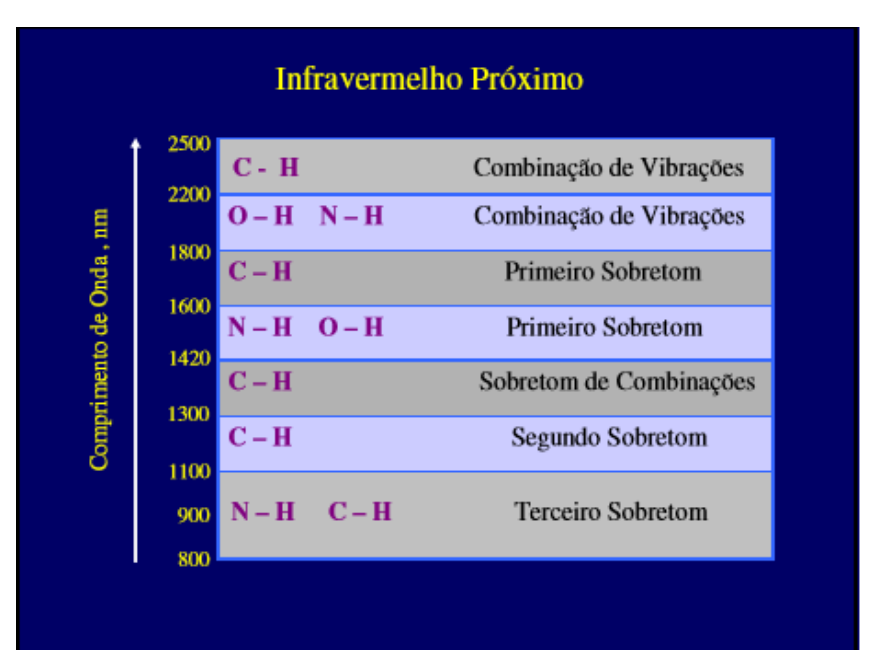
Todos os grupos funcionais são detectáveis

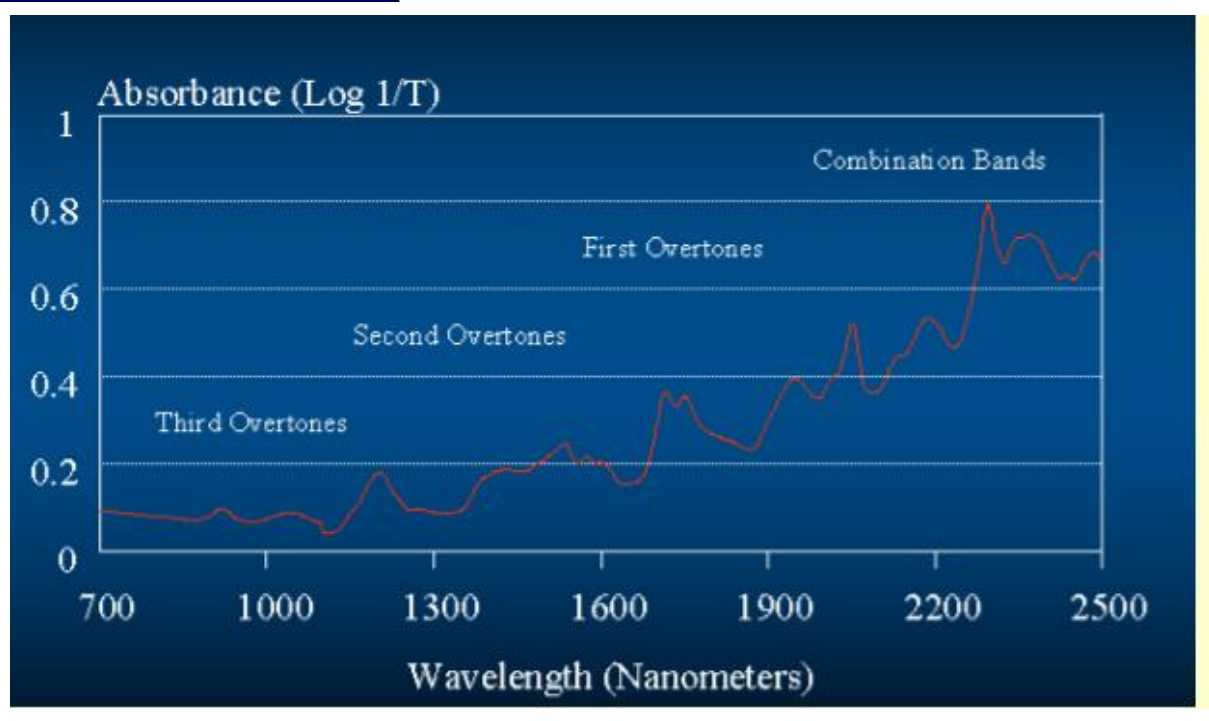
NIR - 10.000 - 4.000 cm-1 1.000 - 2.500 nm

Sobretons / Combinações

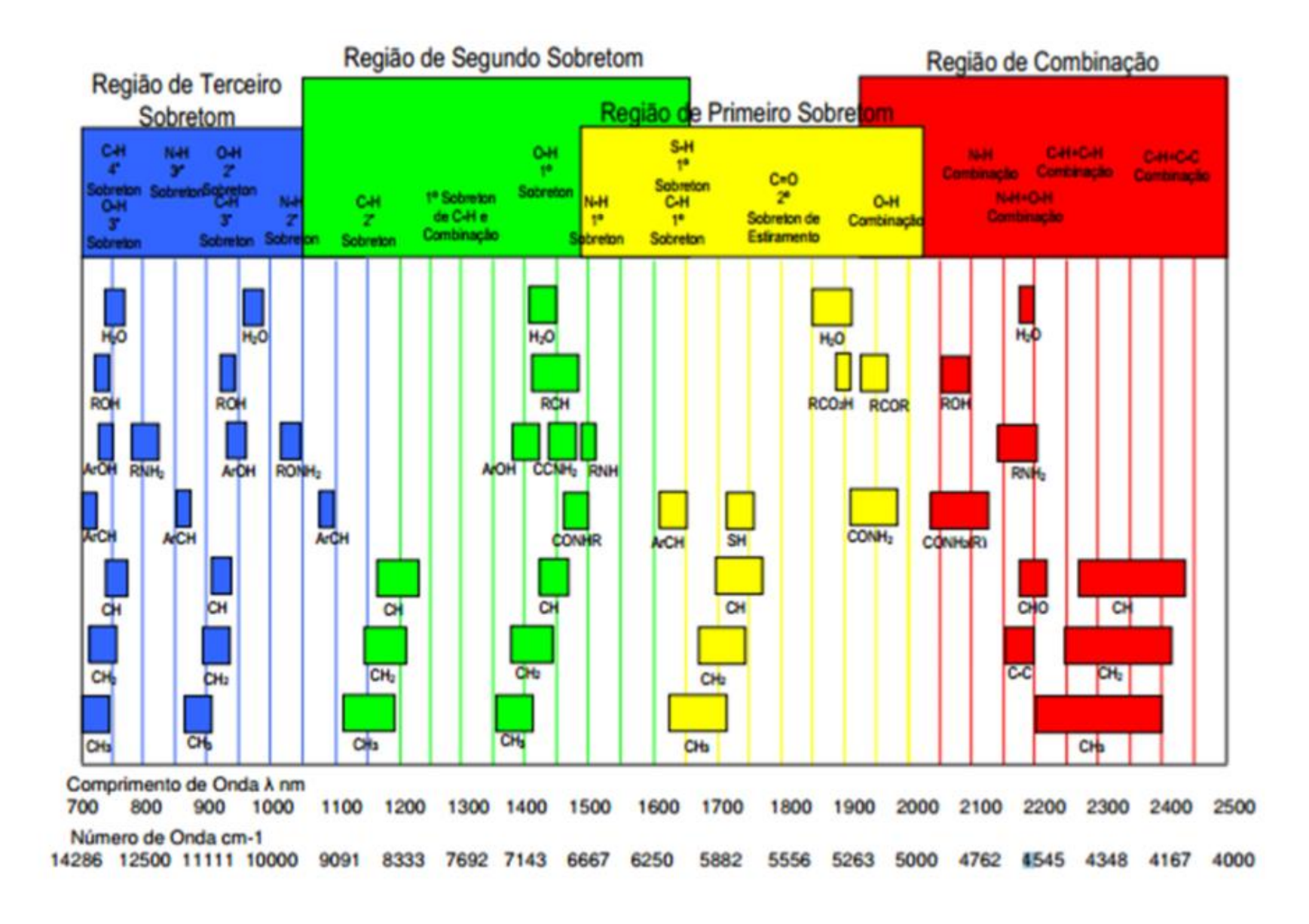
Primariamente: C-H, O-H, N-H, C=O





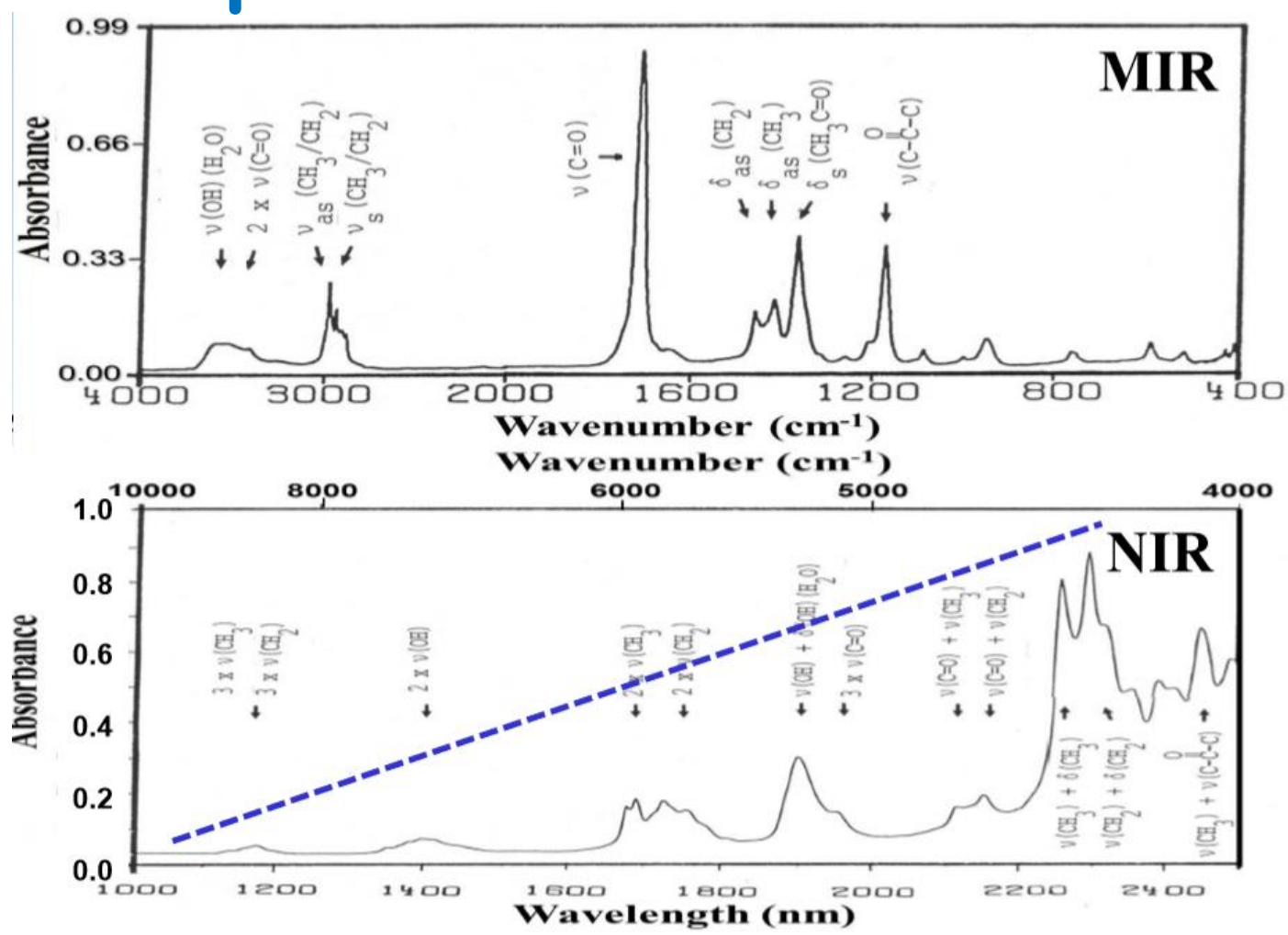






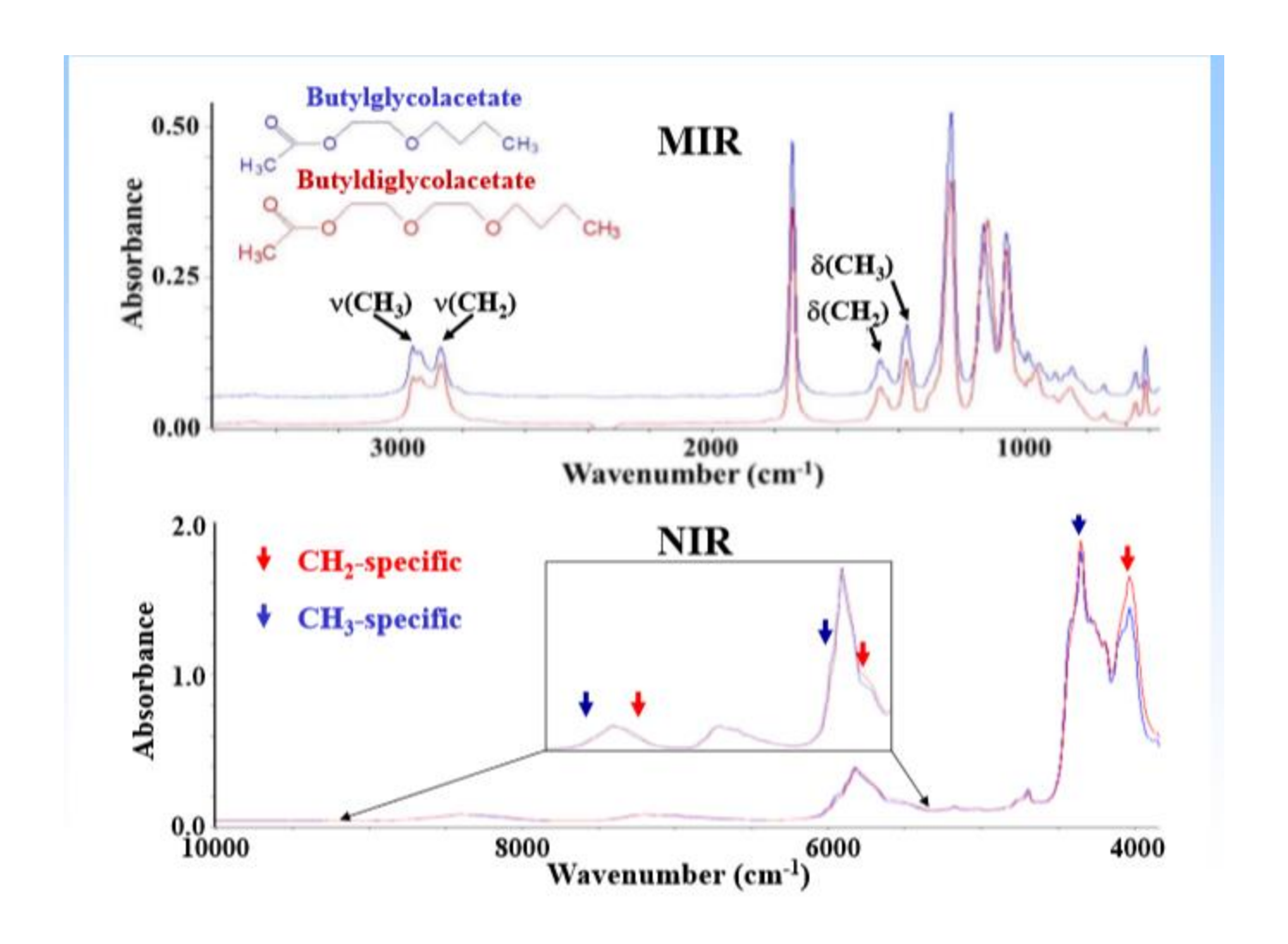


Espectros NIR x MIR





Espectros NIR x MIR





Espectros NIR × MIR

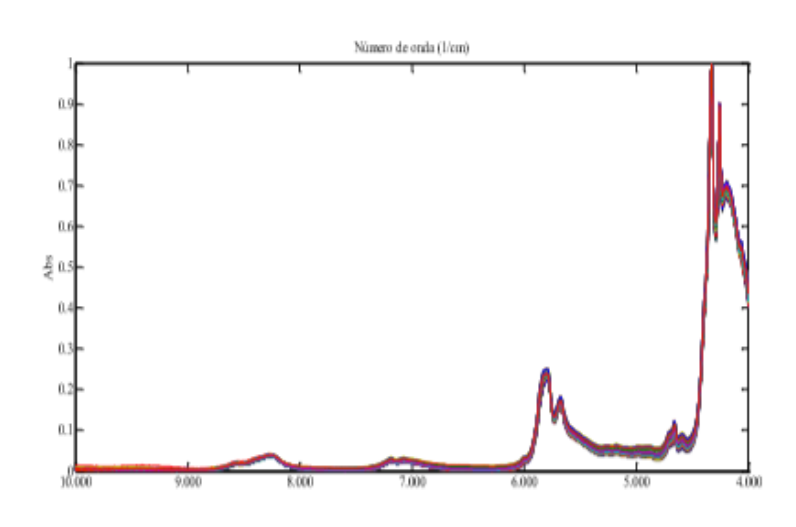


Figura 2. Espectro normalizado das amostras de óleo na faixa de $10.000~a~4.000~cm^{-1}$ (FT-NIR).

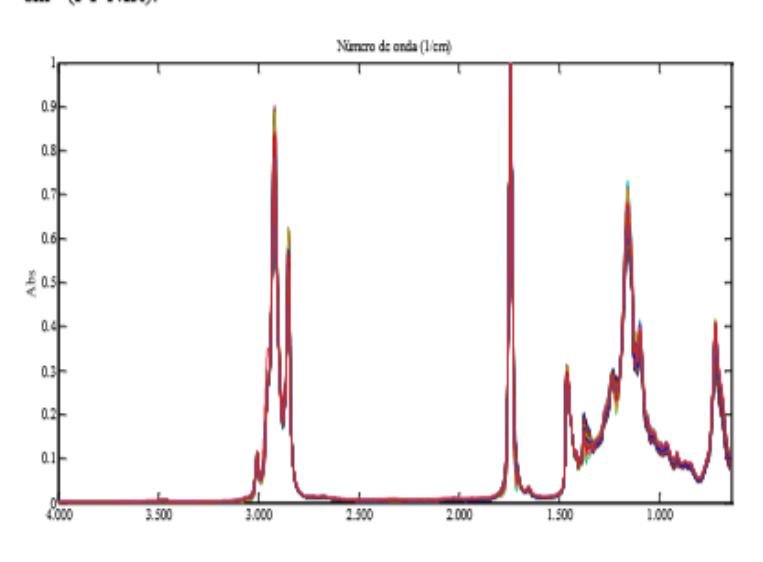


Figura 3. Espectro normalizado das amostras de óleo na faixa de $4.000 \text{ a} 650 \text{ cm}^{-1} \text{ (FT-MIR)}.$

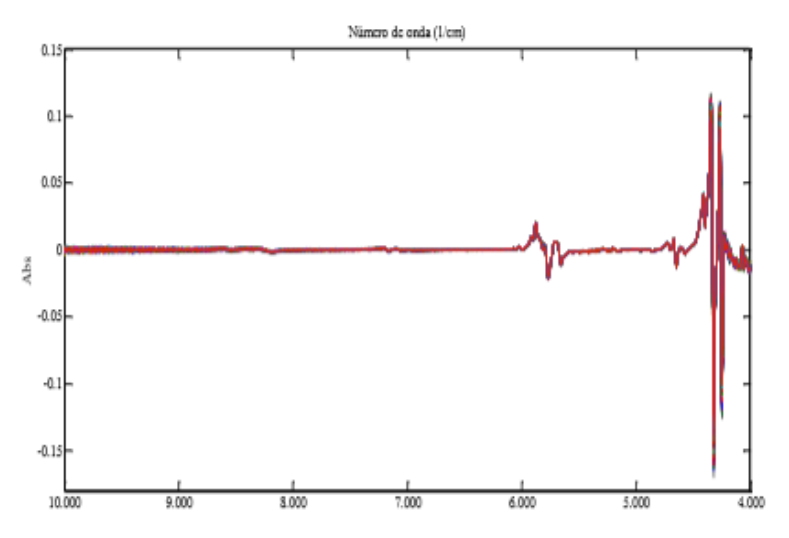
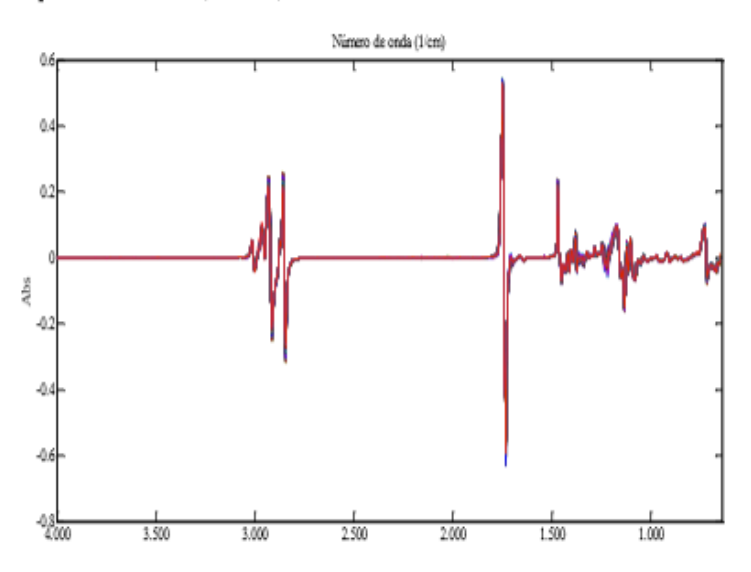


Figura 4. Espectros das amostras de óleos com aplicação da correção por SNV e primeira derivada (FT-NIR).





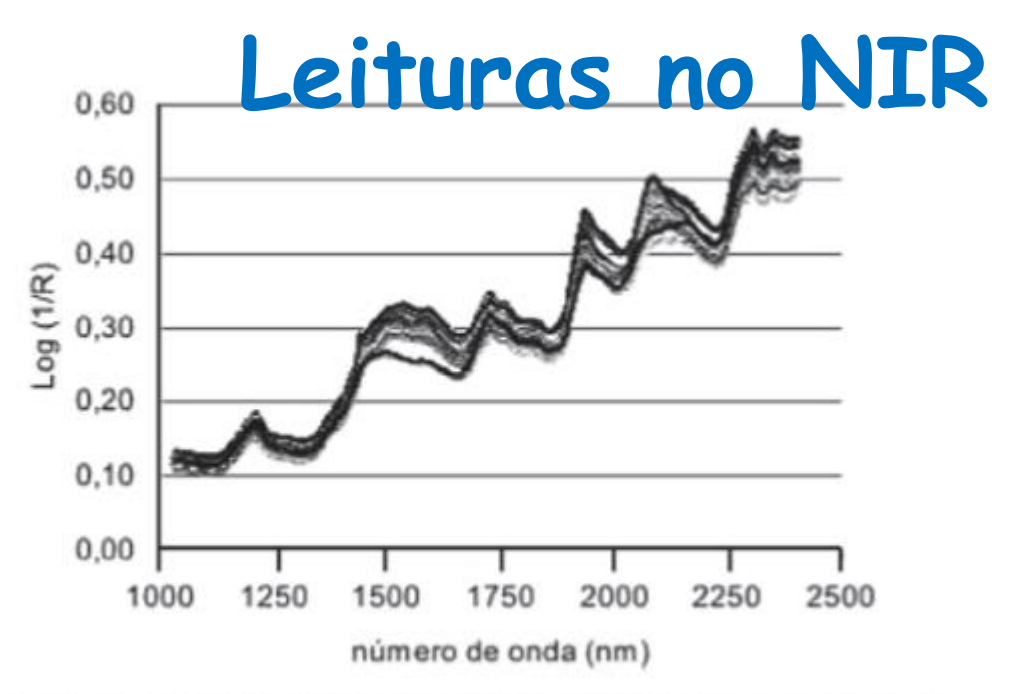


Figura 3. Conjunto de espectros NIR das amostras de leite em pó puras e adulteradas após tratamento com MSC





Leituras NIR





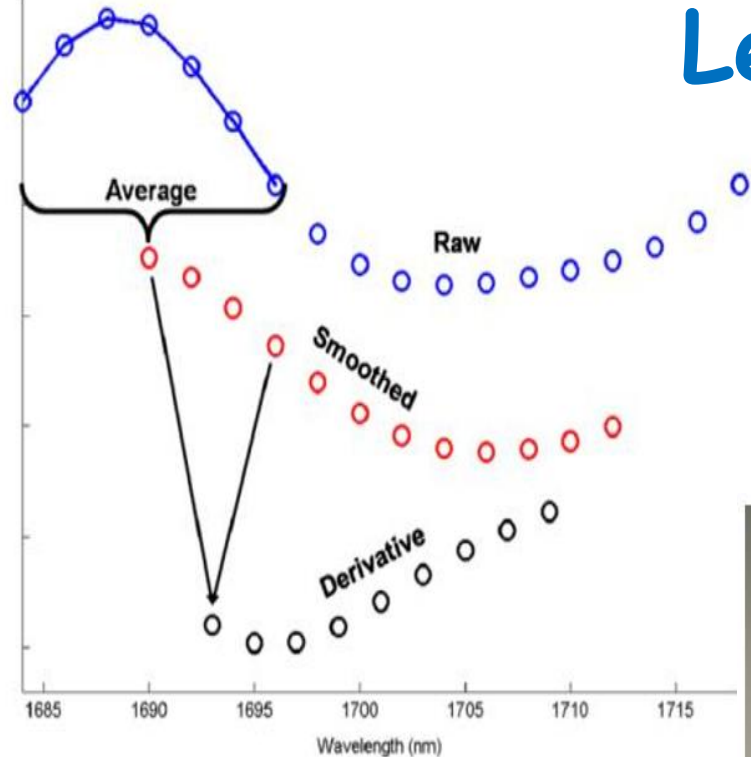
Sugar Analysis







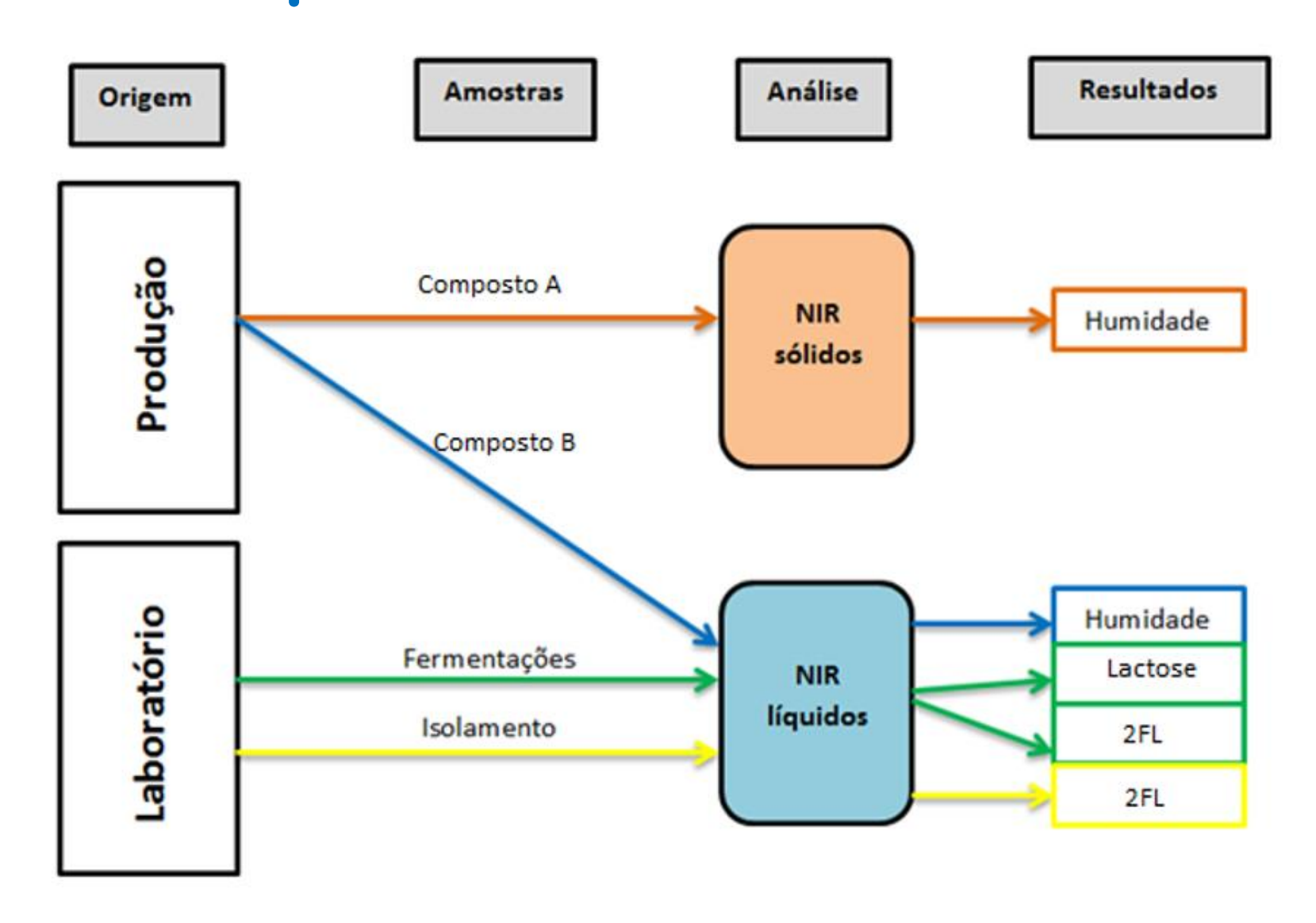
Leituras NIR





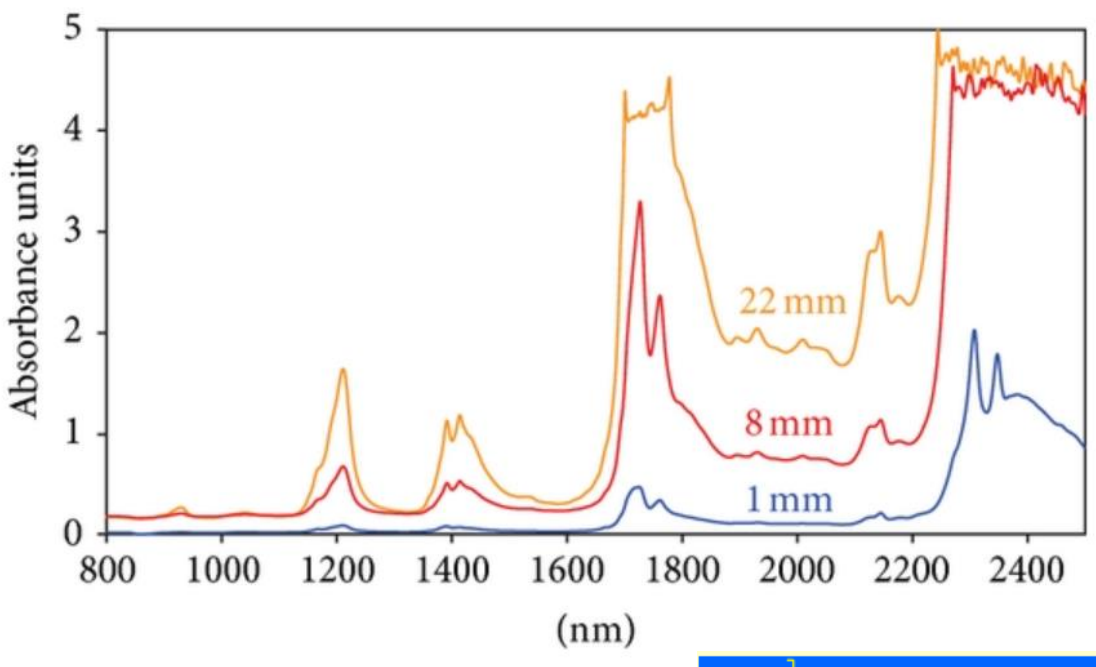


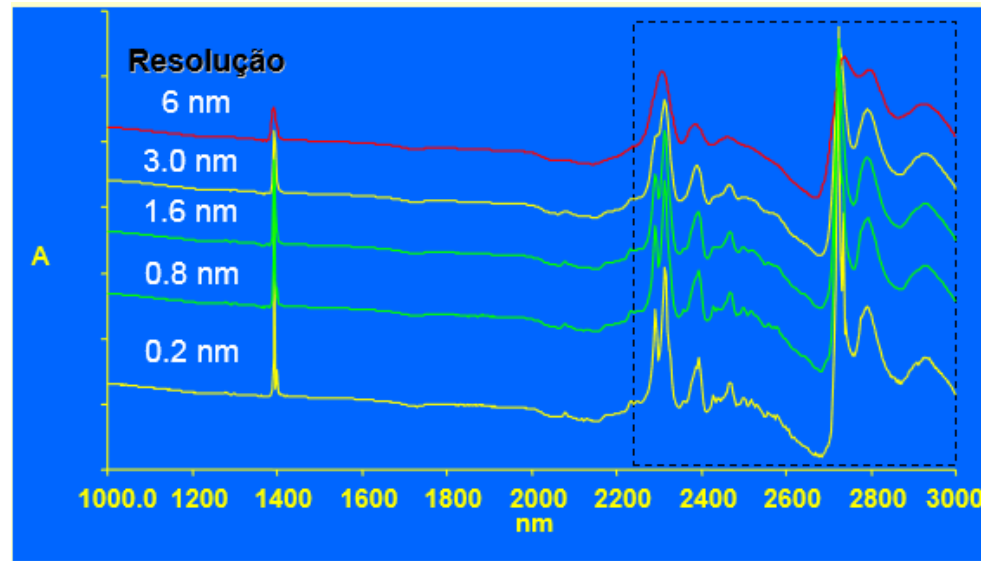
Etapas do Processo Analítico



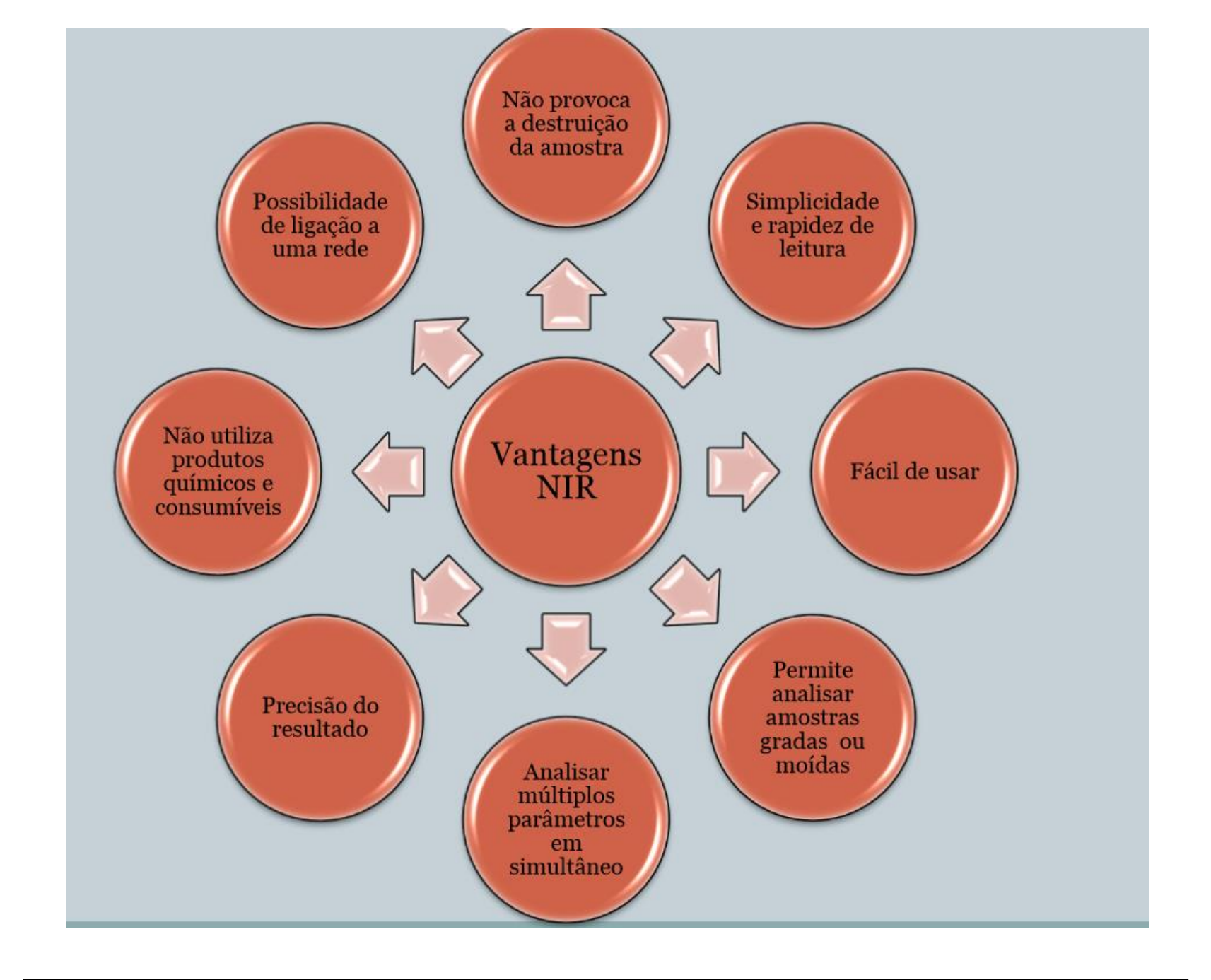


Espectros no NIR

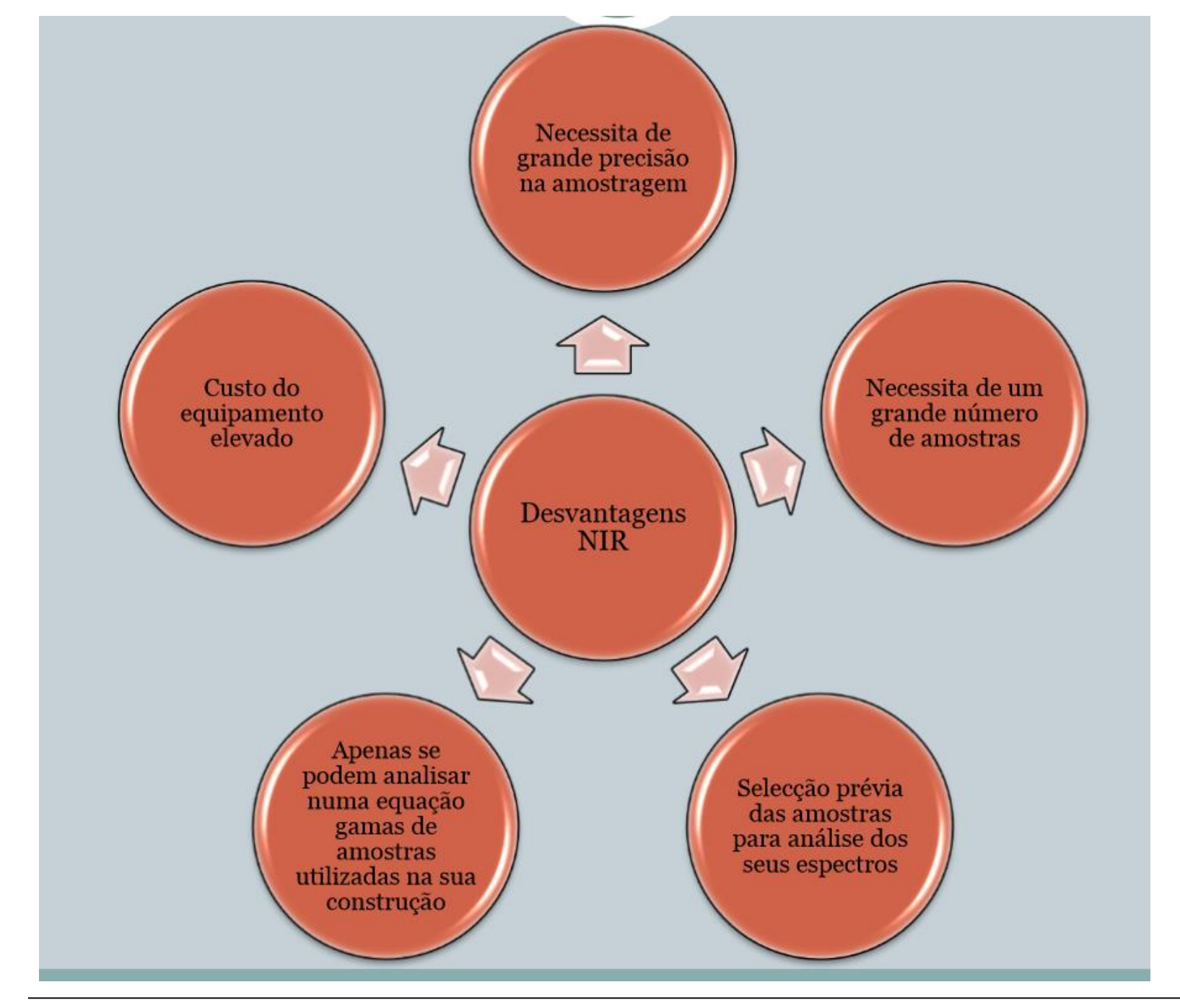














Comparativo NIR x MIR

NIR MIR

Vantagens

Equipamento mais barato que o MIR

Componentes mais robustos

Possui flexibilidade para facilitar análise, pode fazer análise por reflectância ou transmissão. Variedade de tipos de amostras

Vibrações fundamentais das ligações moleculares ocorrendo "fingerprint", produzindo perfil espectral mais sensível

É possível melhorar sinal ruído, possibilitando precisão.

Desvantagens

Absorção significativa de bandas que incluem átomo de hidrogênio. Grupos funcionais como C=O (carbonila) e C-N não produzem bandas identificaveis.

As bandas de absorção são muito largas e sobrepostas, de modo que muitas amostras quimicamente diferentes dão origem a perfis espectrais quase indistinguíveis

Algumas bandas de absorção são tão fortes no infravermelho (O-H na água, por exemplo). Isso torna a amostragem de transmissão praticamente impossível para muitas amostras, e os métodos de reflectância devem ser usados no lugar.

Pouco volume de amostra utilizado, possibilitando maior erro.







Etapas do Processo Analítico





Quimiometria

Ramo da ciência cujo objetivo é o de utilizar técnicas matemáticas (principalmente estatísticas) no tratamento e interpretação de dados químicos."

Quimiometria – outras definições

"Disciplina da química que usa métodos matemáticos e estatísticos para planejar ou selecionar experimentos de forma otimizada e para fornecer o máximo de informação na análise de dados de natureza multivariada" (Kowalski)*.

"Utilização de técnicas estatísticas e matemáticas para analisar dados químicos" (Beeb et al).

"O processo completo no qual dados são transformados em informação usada para tomada de decisão" (Beeb et al).

"Veículos que auxiliam os químicos a atingirem de forma mais eficiente na direção do maior conhecimento" (Kowalski)*.



Quimiometria

O que é Quimiometria?

- 40 % Conhecimento da aplicação
- 30 % Senso comum
- 20 % Estatística
- 10 % Matemática





Classificação dos Métodos Quimiométricos

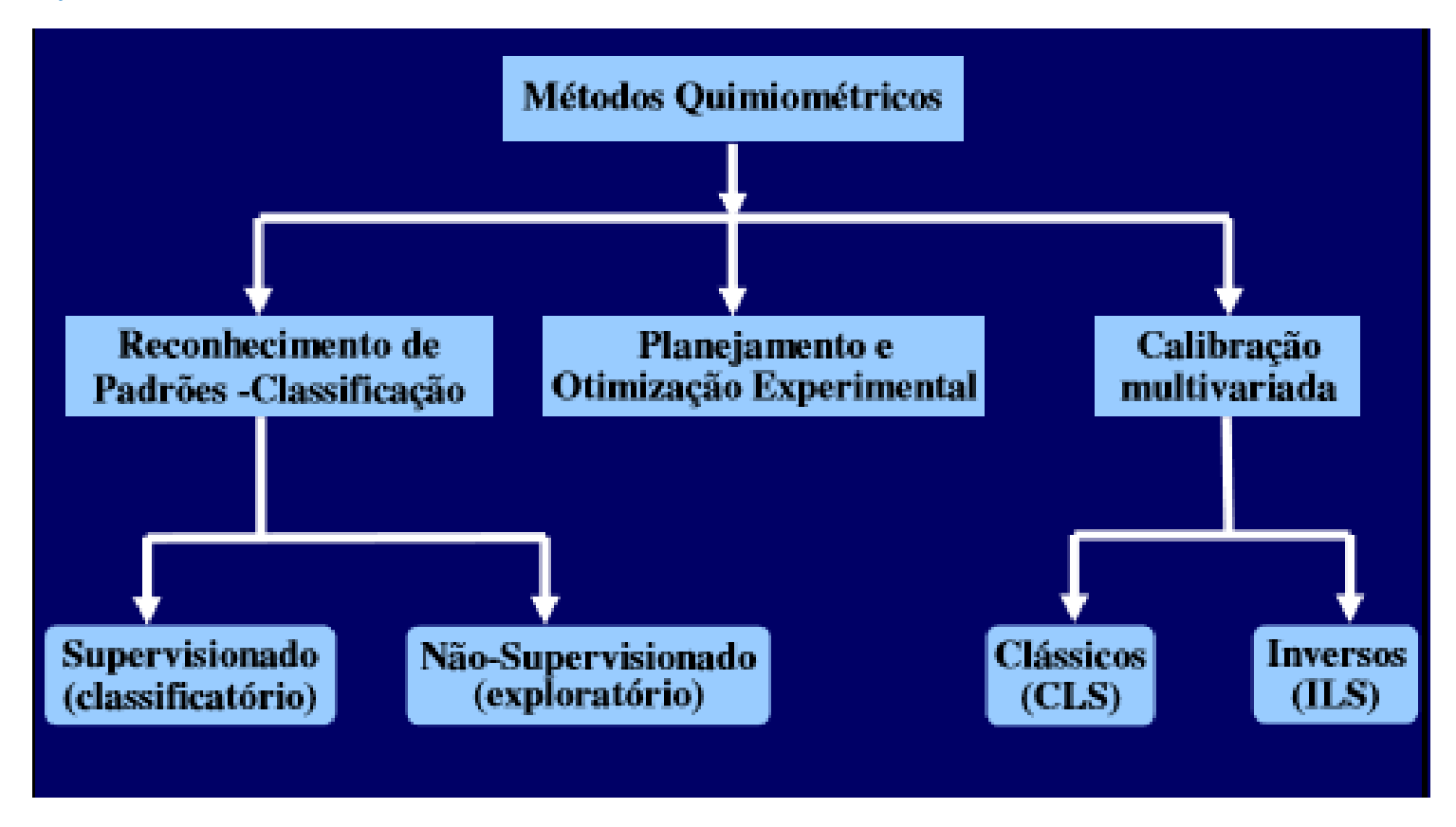




Tabela 3: Figuras de mérito do modelo PLS para os parâmetros físico-químicos da soja.

	Índice de Lipídios		Proteína	Umidade	
Figuras de mérito	acidez (%)	totais (%)	bruta (%)	(%)	
Rcal	0,8589	0,8811	0,8879	0,8721	
R _{val}	0,8541	0,8290	0,8963	0,8370	
R^2_cal	0,7378	0,7763	0,7884	0,7606	
R^2 val	0,7295	0,6873	0,8034	0,7006	
RMSEC	0,1970	0,7504	0,5135	0,9715	
RMSEP	0,1694	0,6747	0,4552	0,9914	
RPD _{cal}	1,7661	1,6906	2,0377	1,8851	
RPDval	1,8525	1,6213	2,2596	1,8250	
Sensibilidade	3,346x10 ⁻⁴	9,468x10 ⁻⁵	1,614x10 ⁻⁴	6,747x10 ⁻⁵	
Sensibilidade Analítica	18,0102	5,3872	9,6200	3,5593	
Inversa da Sensibilidade Analítica	0,0555	0,1856	0,1039	0,2810	
Limite de Detecção	0,1832	0,6126	0,3430	0,9271	
Limite de Quantificação	0,5552	1,8562	1,0395	2,8095	

 R_{cal} — Coeficiente de correlação de calibração; R_{val} — Coeficiente de correlação de validação; R^2_{cal} — Coeficiente de determinação de calibração; R^2_{val} — Coeficiente de determinação de validação; RMSEC — Raiz quadrada do erro médio quadrático de calibração; RMSEP — Raiz quadrada do erro médio quadrático de previsão; RPD_{cal} —



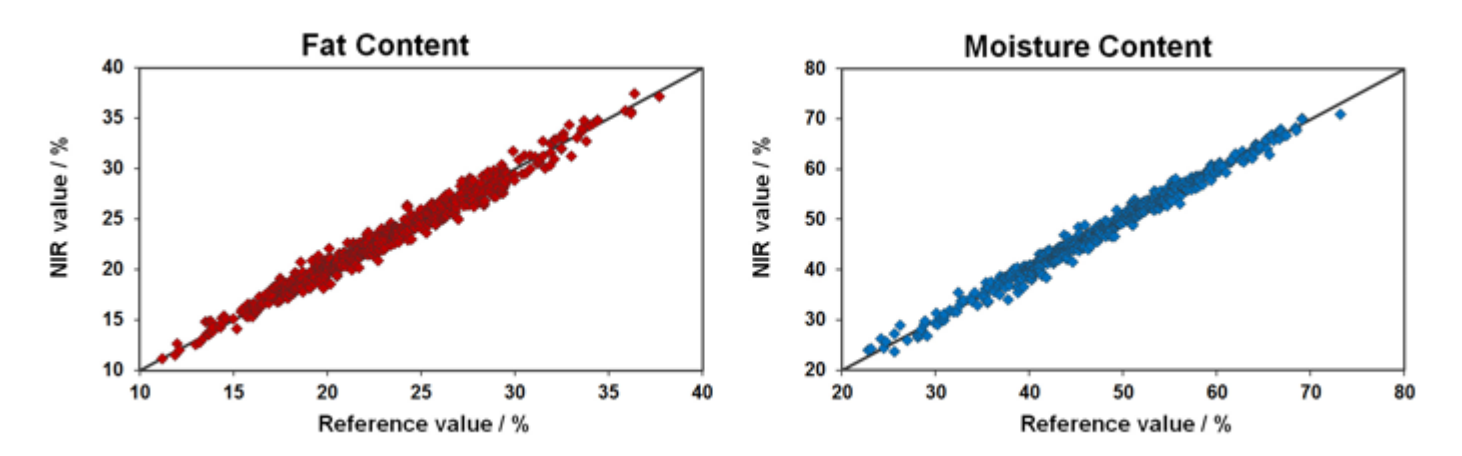
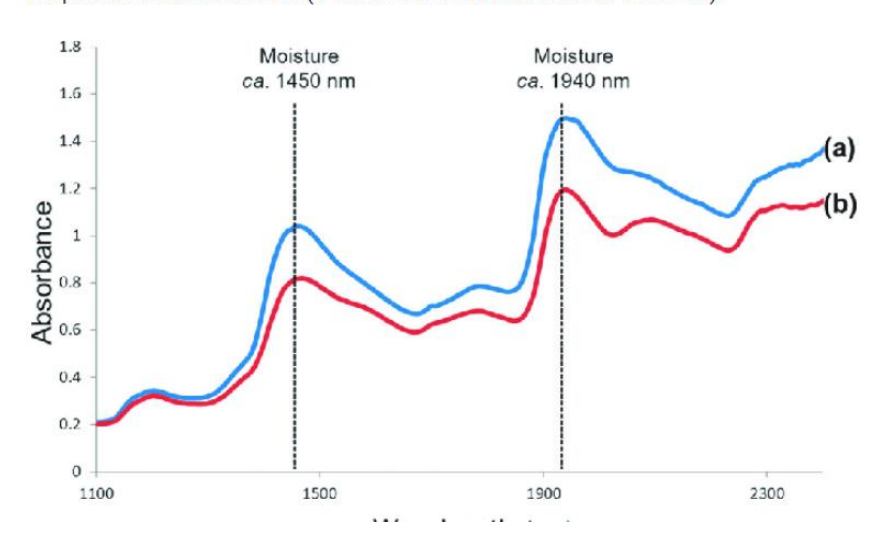


Fig. 6 Average spectra of small areas of the image of the slice of bread (a) fresh and (b) after being dried for 1 h at 60 1C, illustrating reduced absorption at the respective moisture bands (1440 to 1470 nm and 1920 to 1940 nm).





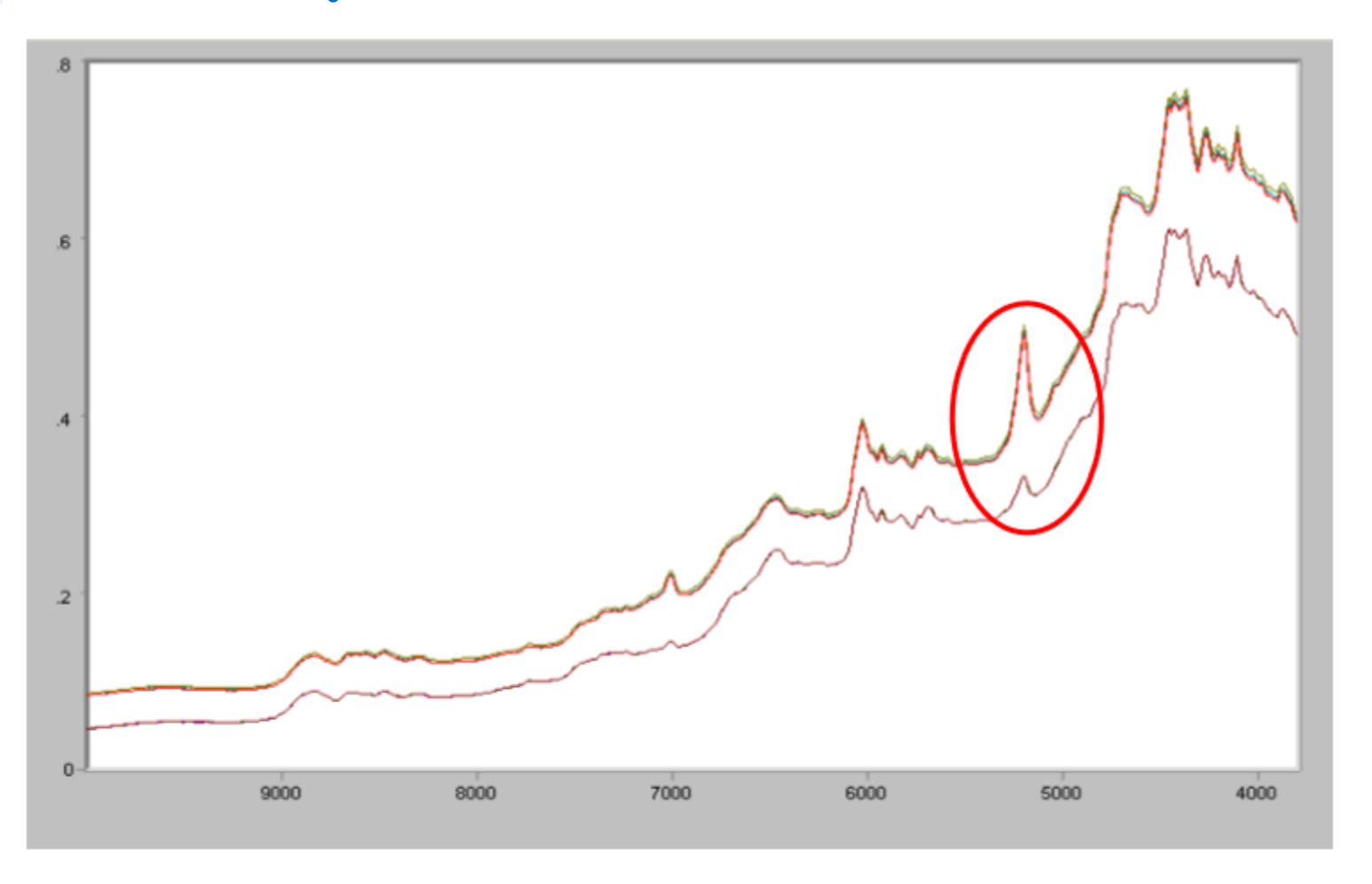


Figura 18 - Espectros de duas amostras do composto A com diferentes teores de humidade.





Figura 26 - Espectros de duas amostras do composto B com diferentes teores de humidade.



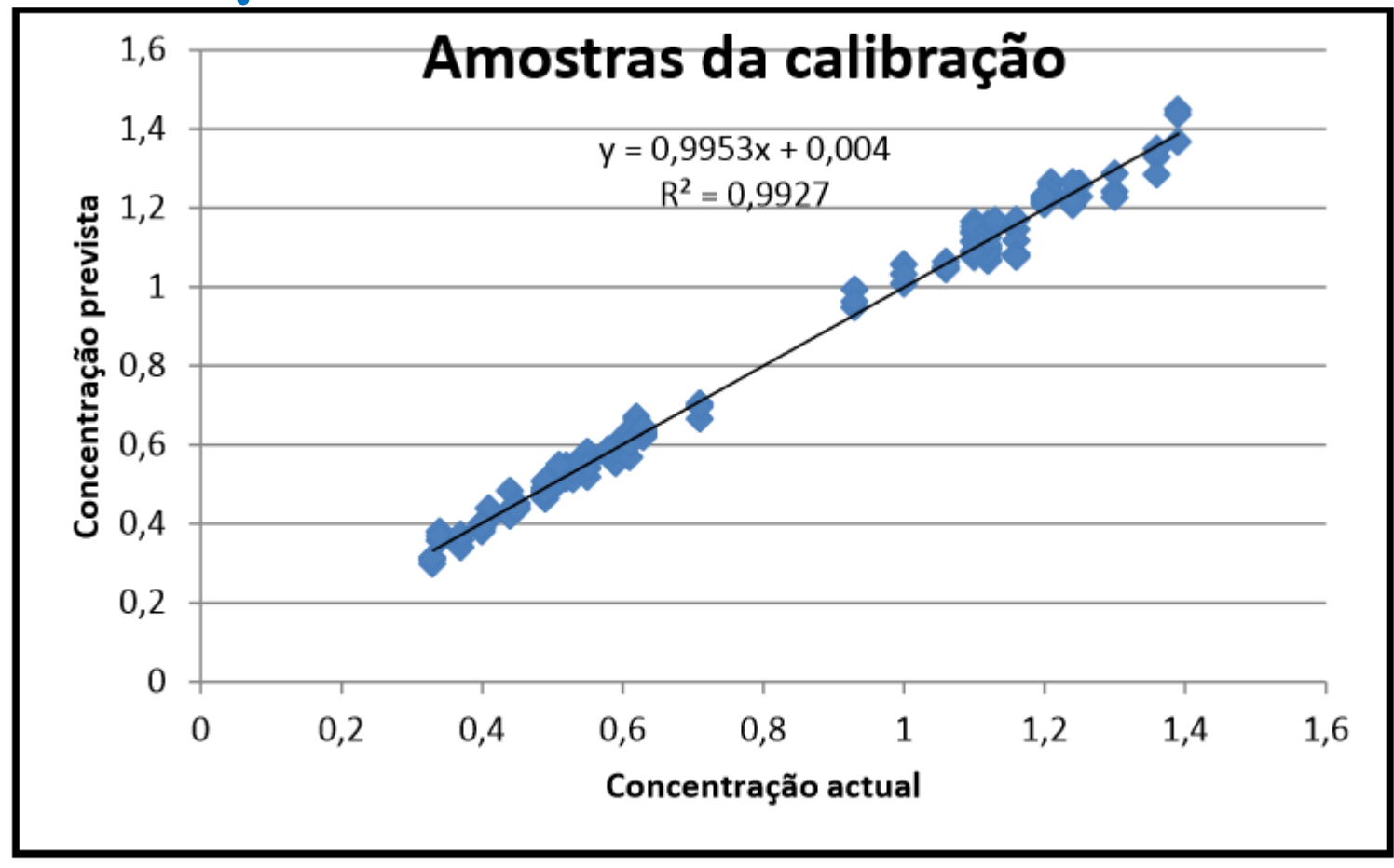


Figura 20 - Concentração Prevista vs Concentração Actual para o composto A.



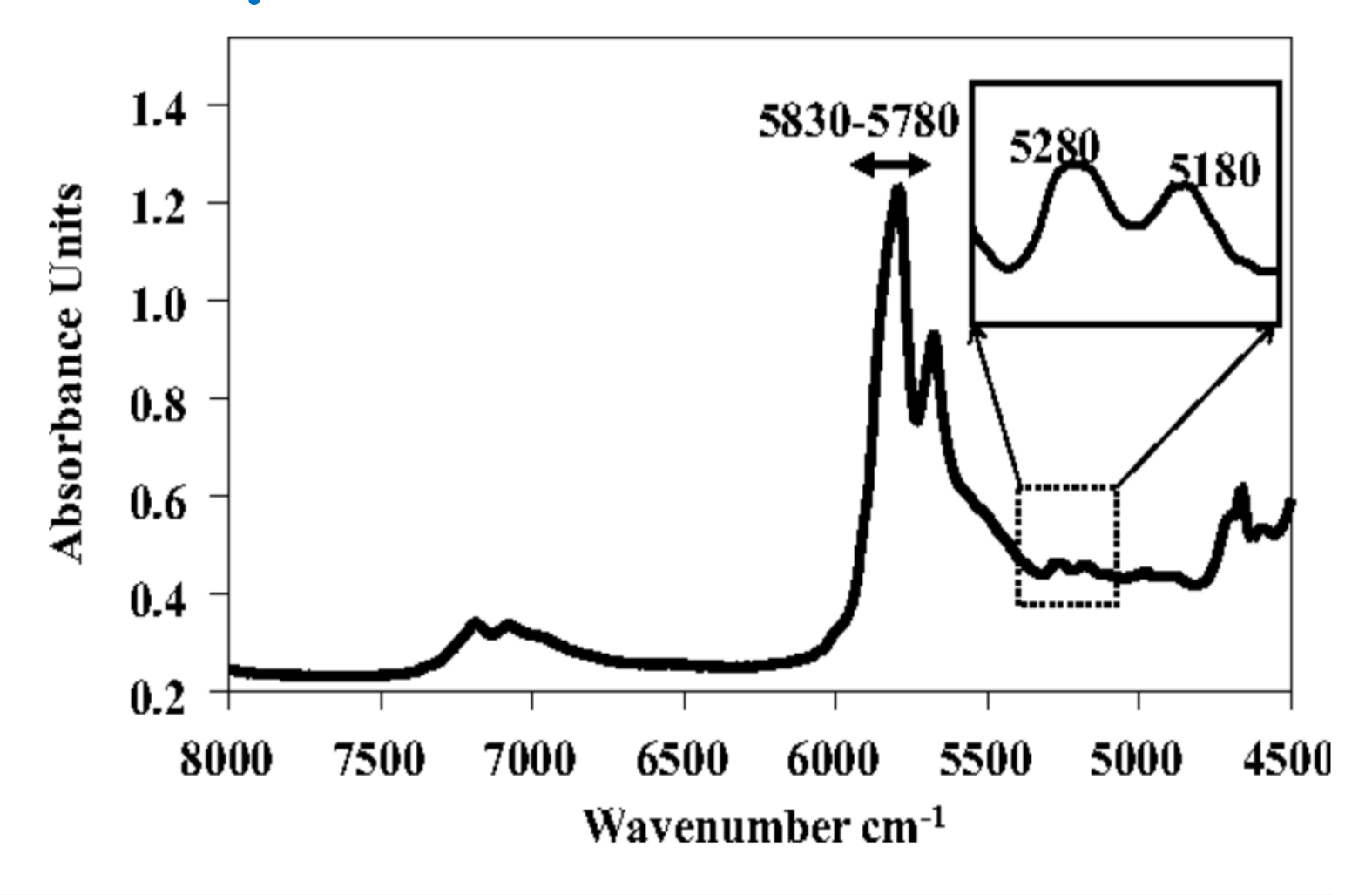
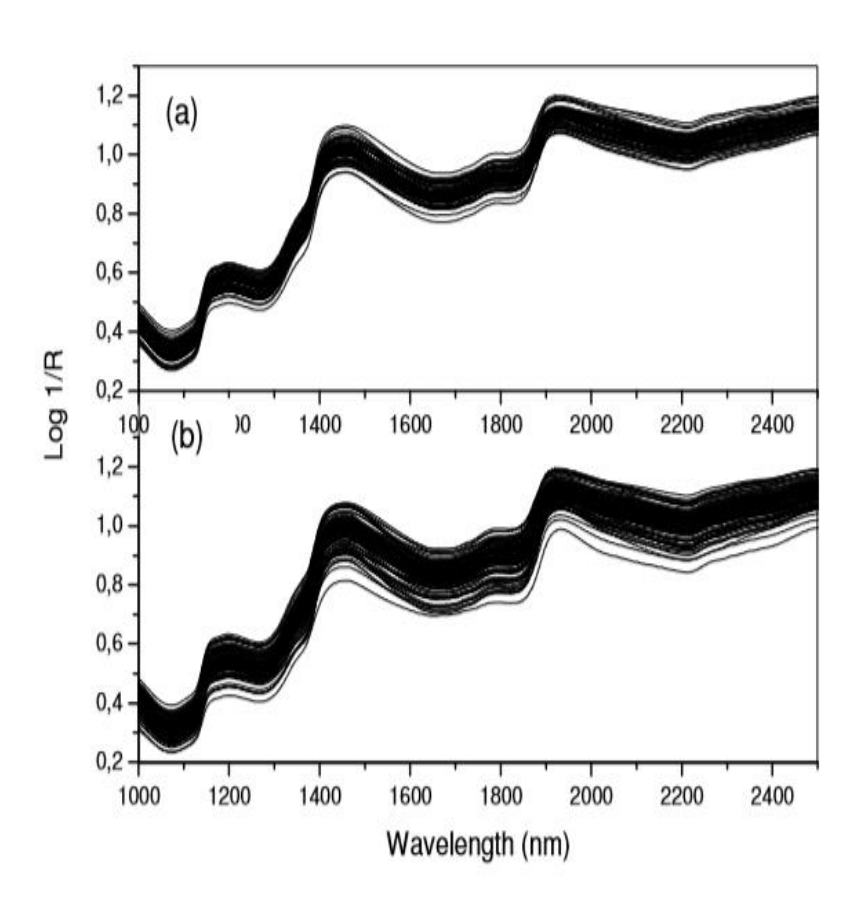
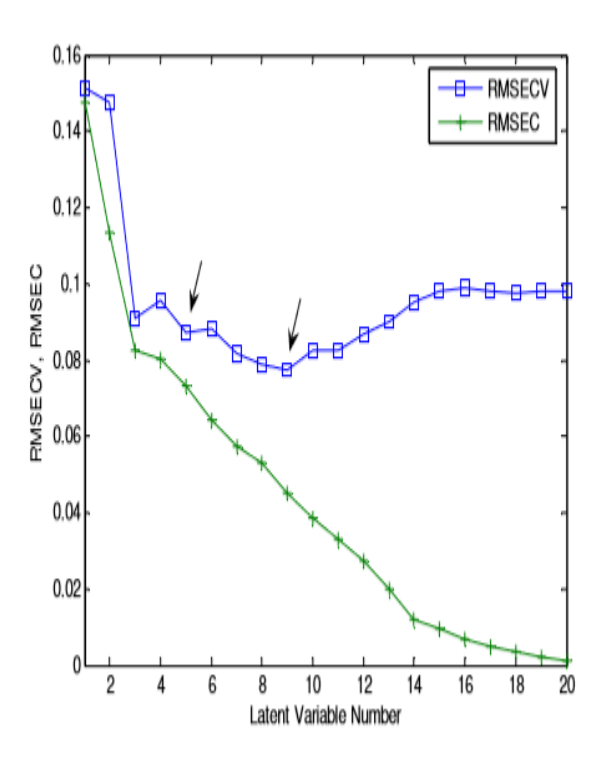


Fig. 1 FT-NIR absorption spectrum of an extra virgin olive oil (EVOO) showing the presence of weak yet highly characteristic bands at 5180 and 5280 cm-1



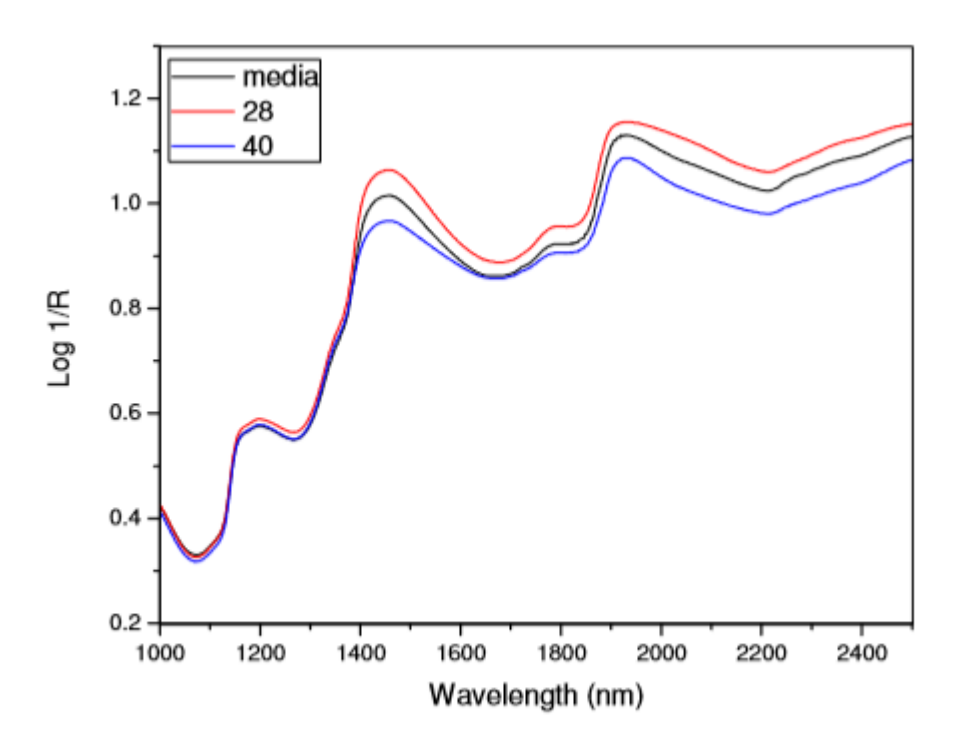
Frutos de Maracujá

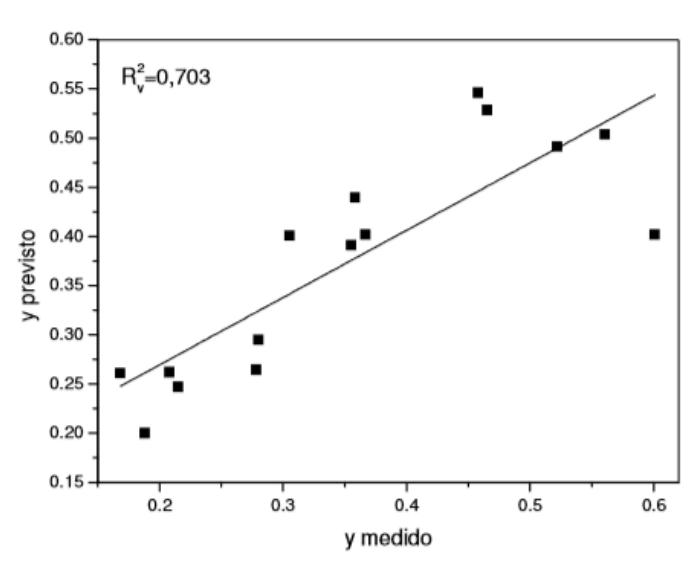






Carotenóides Totais







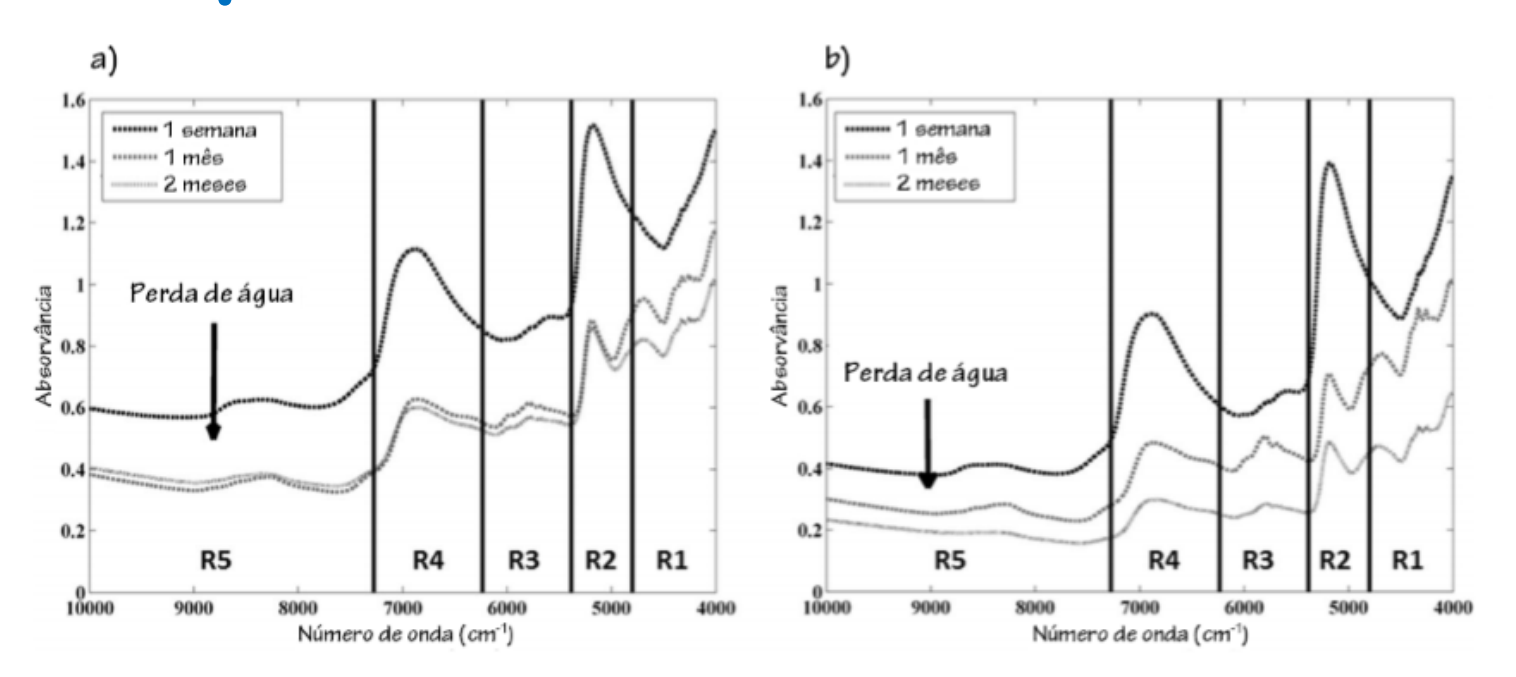
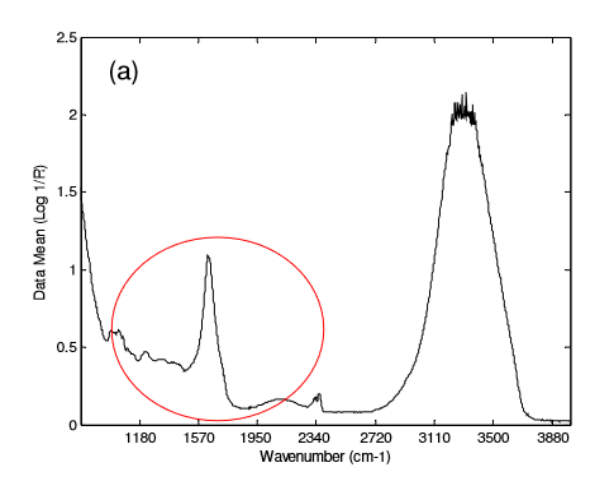


Figura 18 – Exemplo de espectros NIR da mistura de grainhas, películas e hastes obtidos para as amostras de bagaço inteiras (a) e moídas (b) nos diferentes tempos de armazenamento: R1 (4800-4035cm⁻¹), R2 (5385-4800cm⁻¹), R3 (6235-5385cm⁻¹), R4 (7275-6235cm⁻¹) e R5 (9975-7275cm⁻¹).





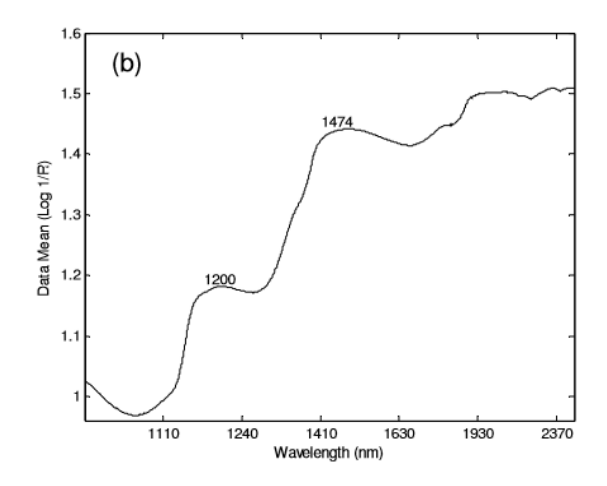
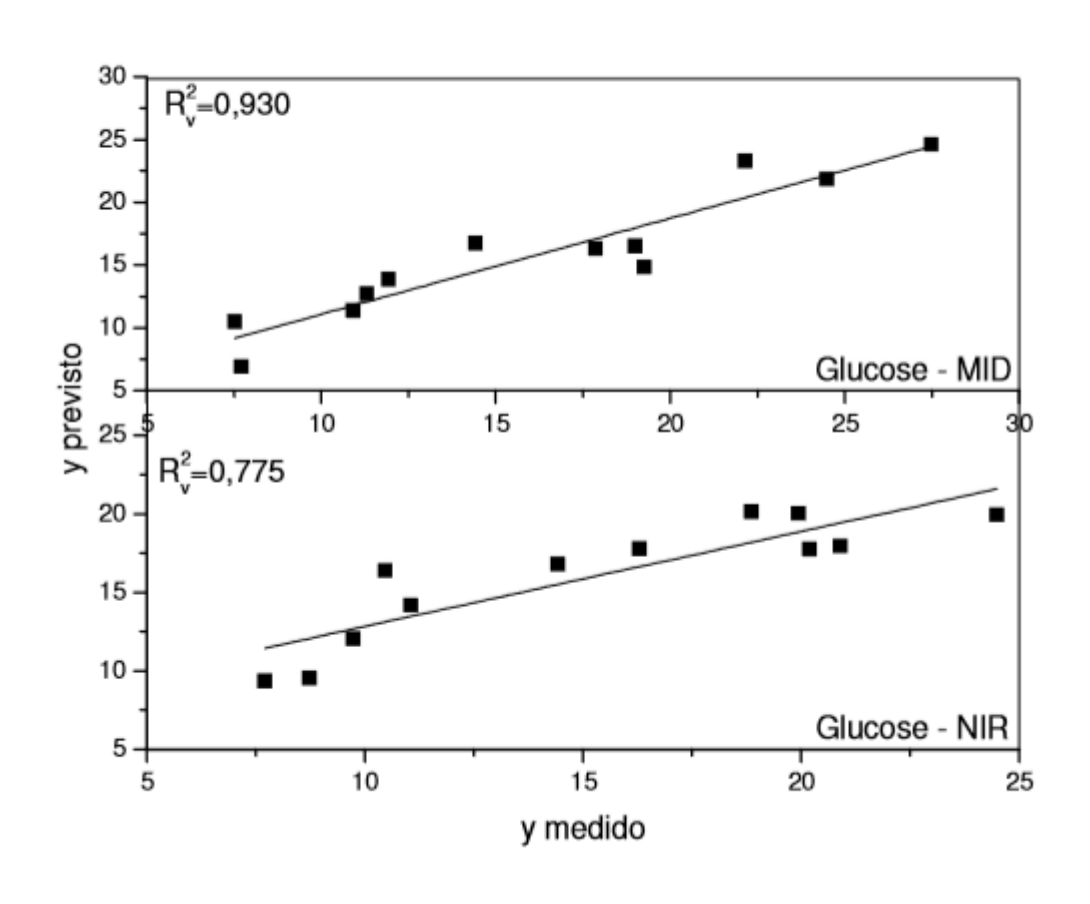


FIGURA 3.2 – MÉDIA DOS ESPECTROS DE INFRAVERMELHO DE AMOSTRAS DE POLPA IN NATURA DE MARACUJÁ: (a) MID NO INTERVALO DE 800 a 4000 cm-1 (b) NIR NO INTERVALO DE 1000 A 2500 nm







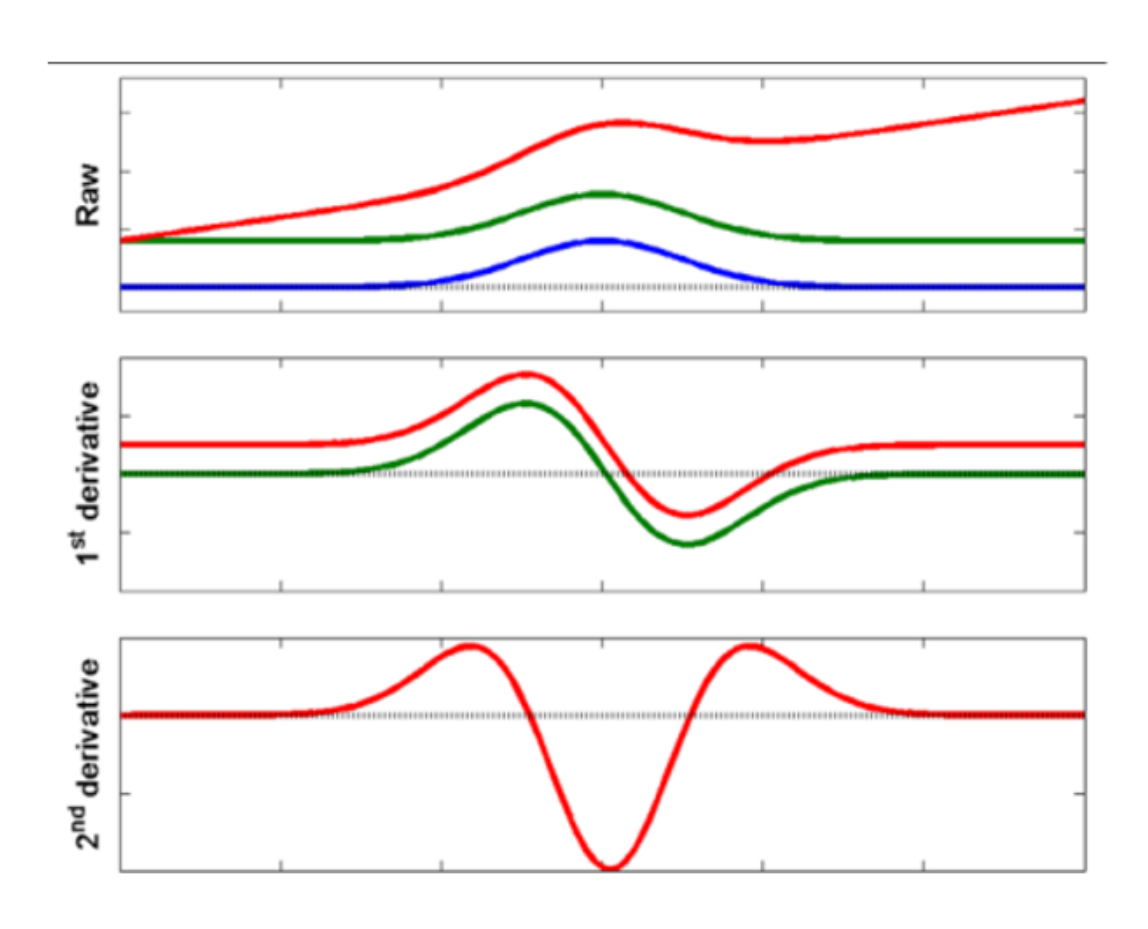
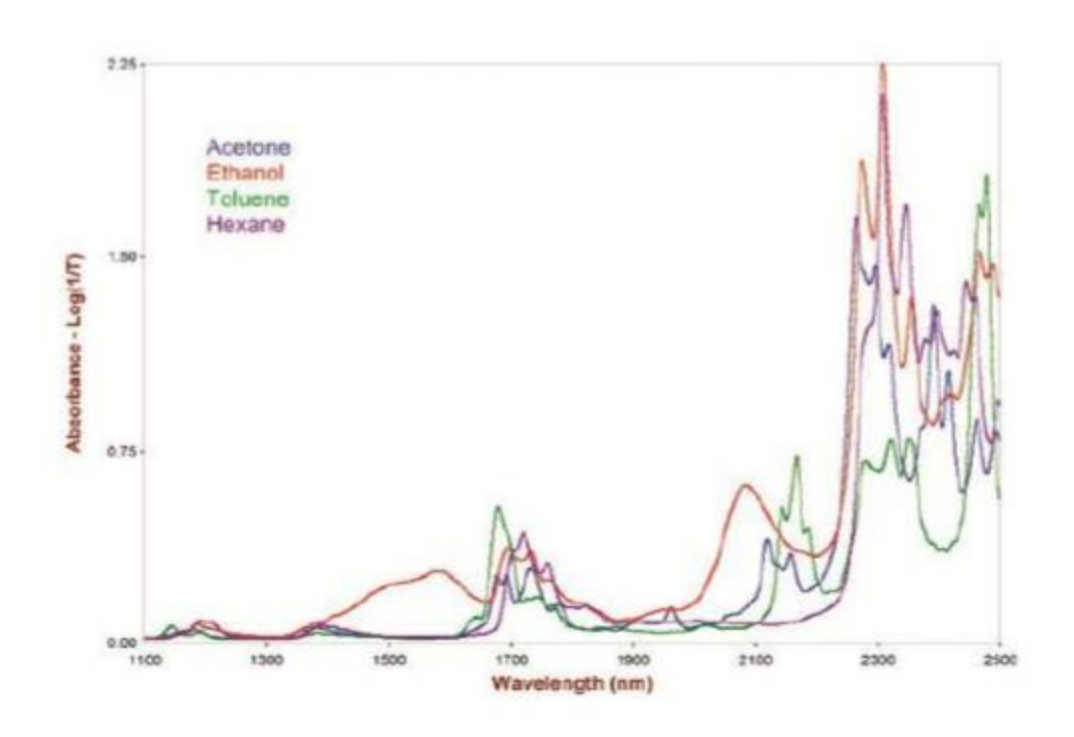
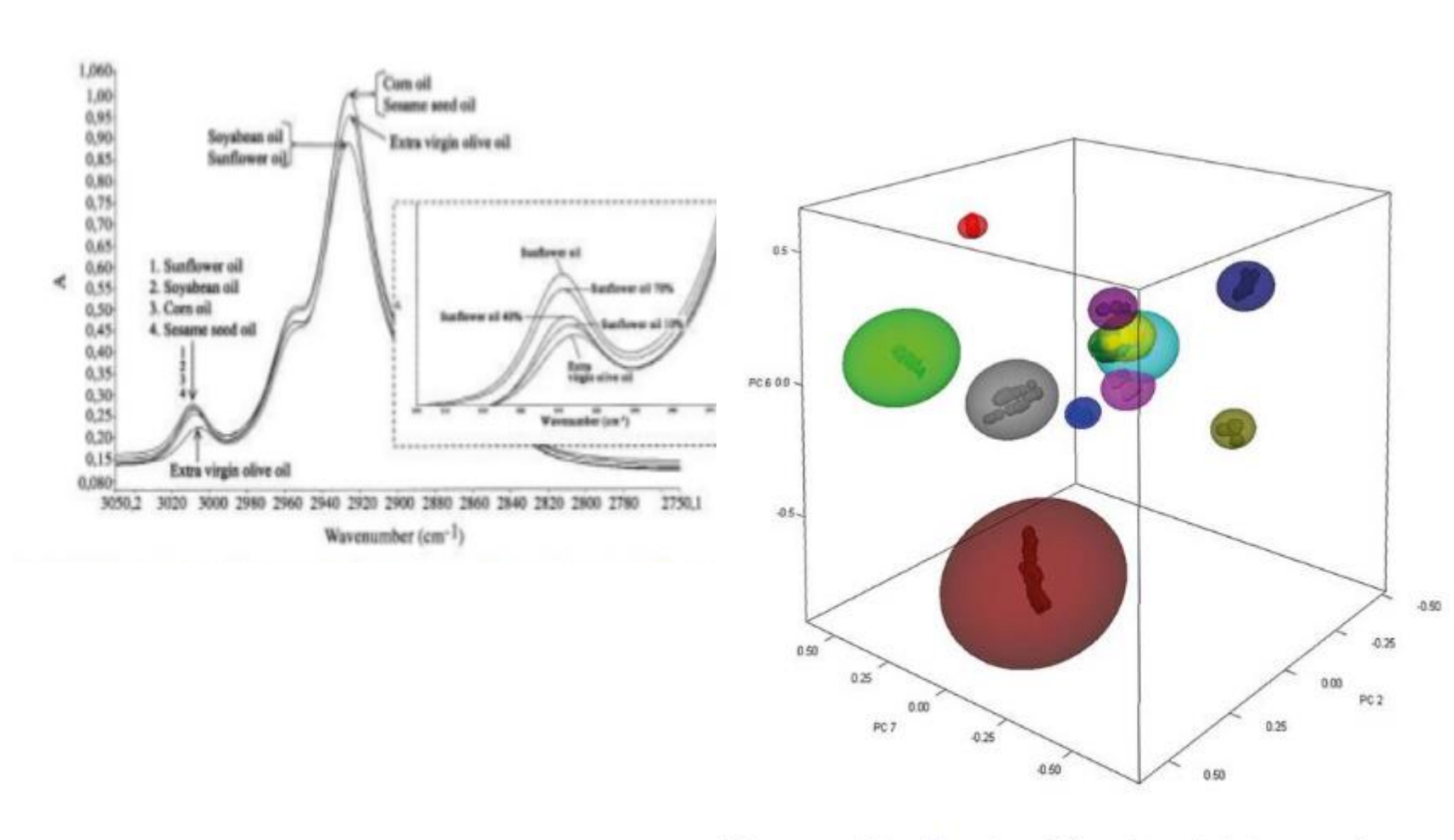


Figura 11 - Efeito da aplicação de derivadas a um espectro NIR (adaptado de ¹⁷⁸)



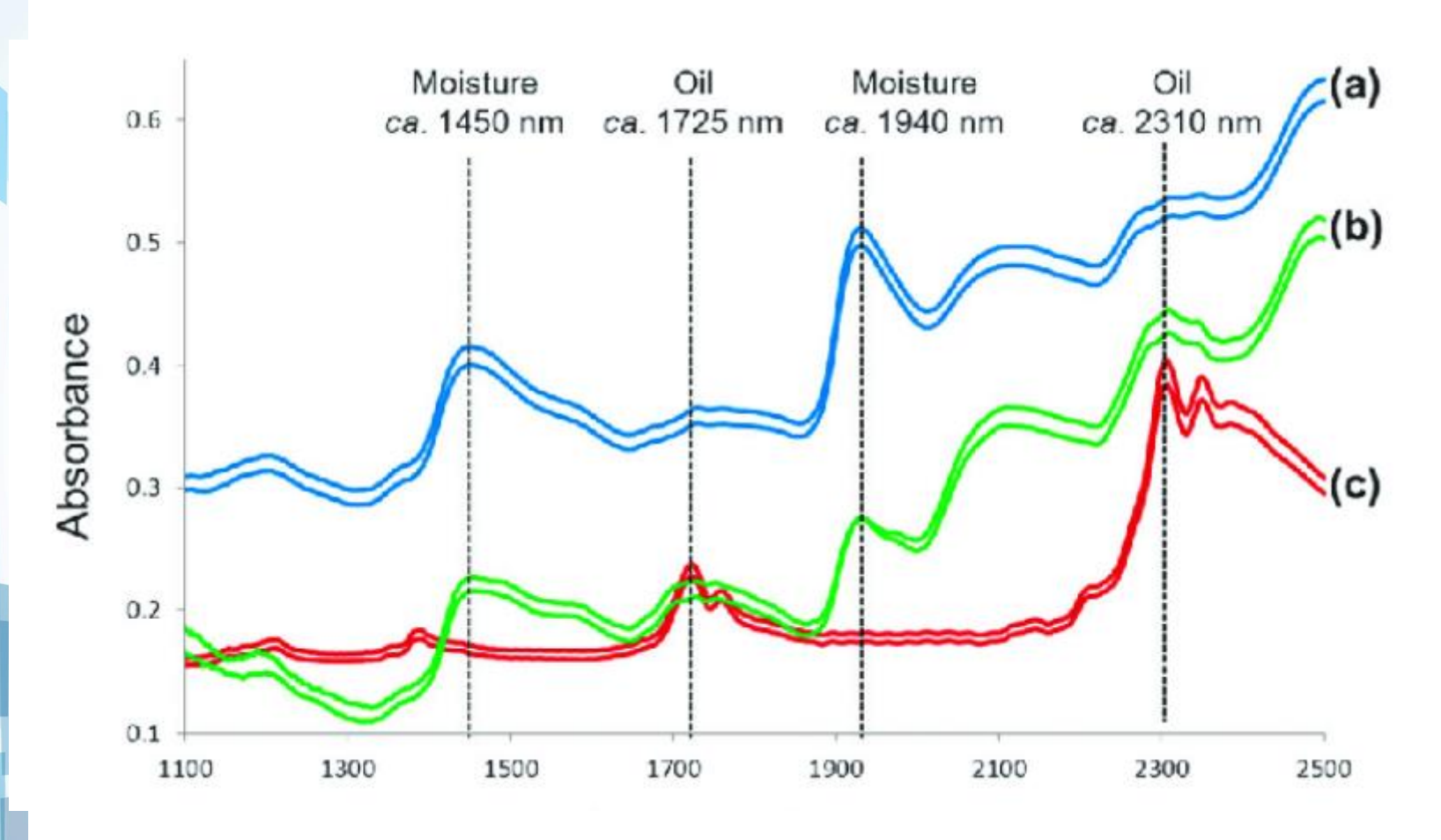




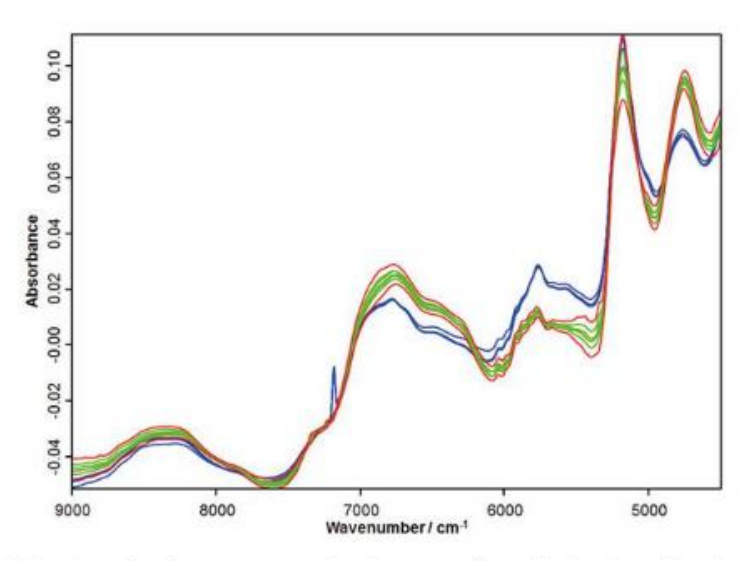


3D scores plots showing different material groups in an identification library









Display of reference spectra in a conformity test method (green) with spectra detected as outliers (blue)















www.olive-nir.com/video.html







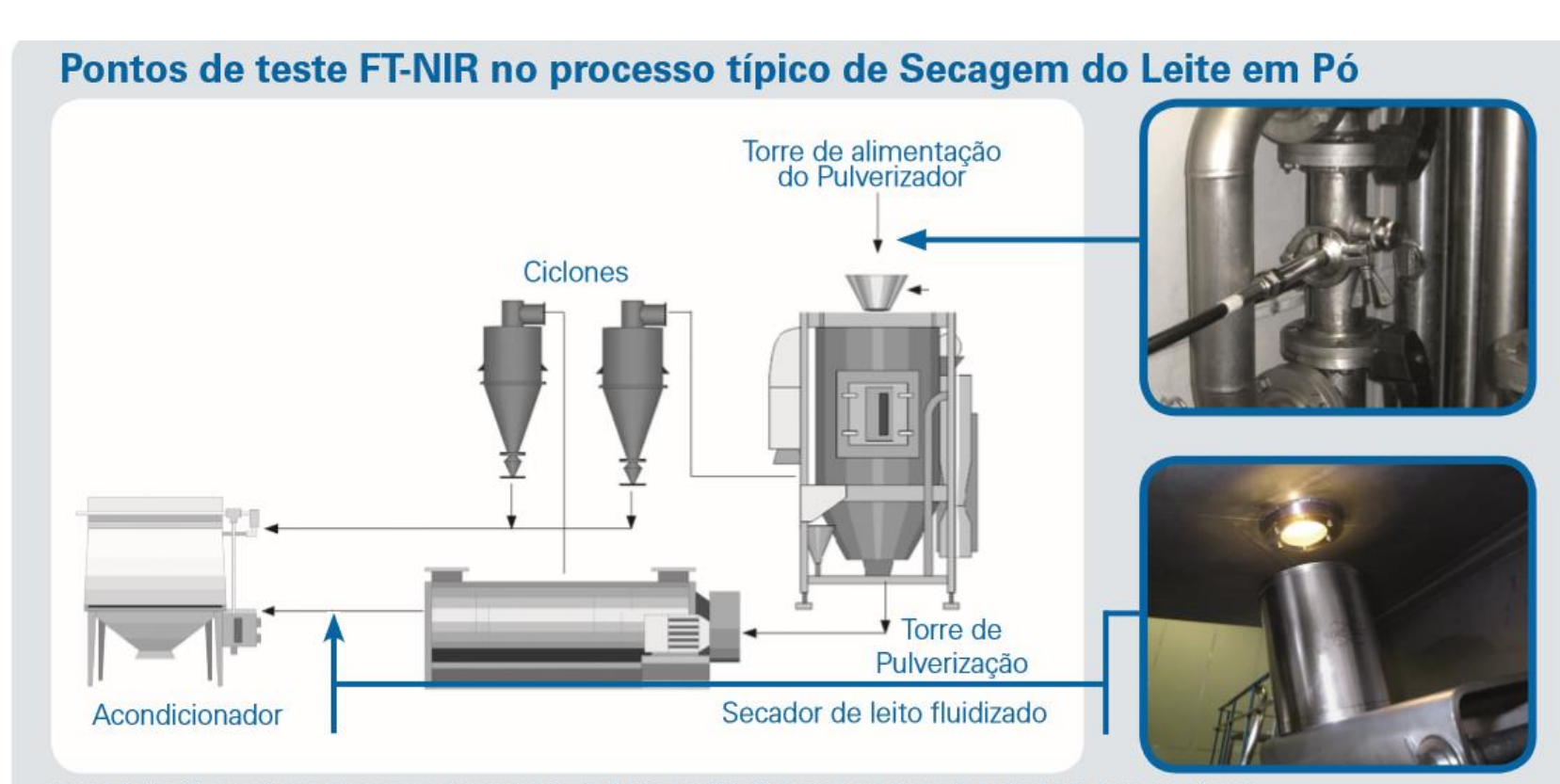
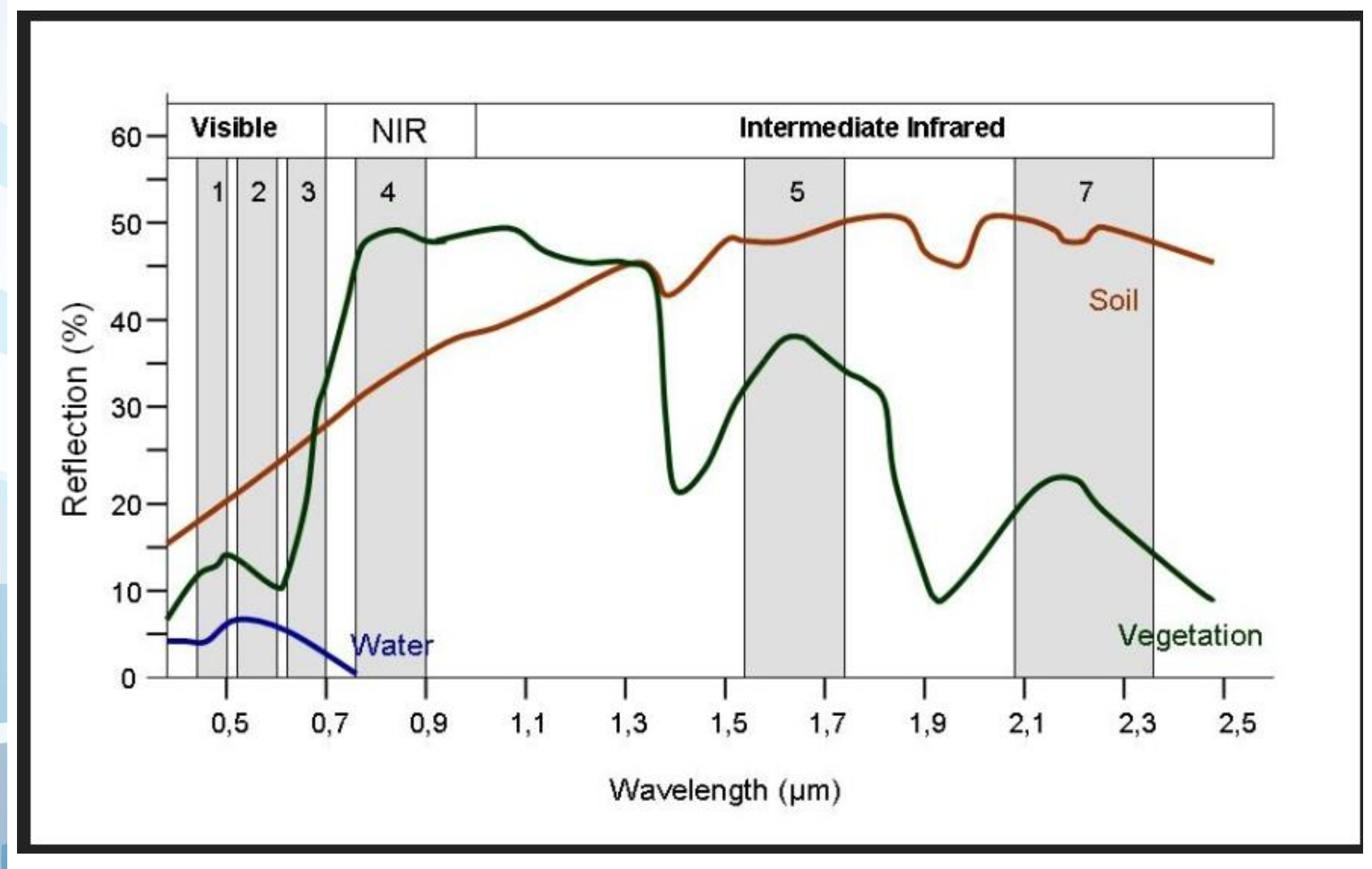


Figura 4: Análise on-line no processo de produção do Leite em Pó. Superior: controle da entrada da torre de alimentação do pulverizador ou alternativamente no tanque de alimentação usando uma sonda de transflectância. Inferior: análise do pó livre em contato com a sonda para sólidos na peneira (sifter) do secador de leito fluidizado.







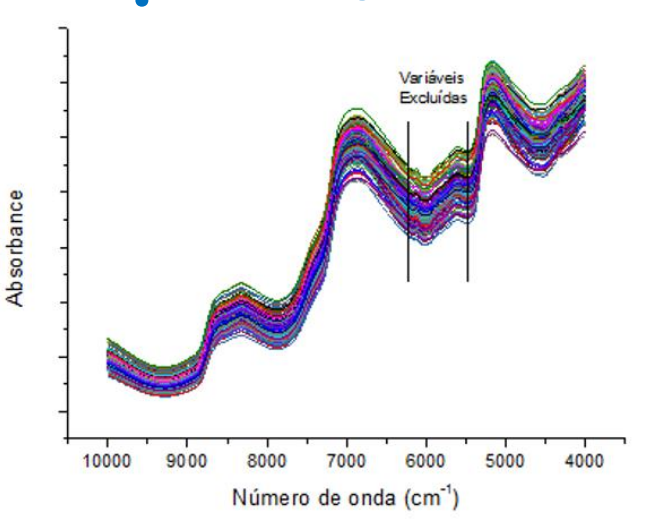


Figura 24 - Sinais das 300 laranjas obtidos por NIR, originais sem tratamento com as variáveis excluídas (valores médios)

Tabela 4 - Modelos de calibração PLS-NIR

and the state of t						
NIR	Fatores	SEV	r Val	SEC	r Cal	n Cal
SST(°Brix)	14	0,64	0,88	0,53	0,93	192
pН	17	0,12	0,87	0,10	0,92	192
ATT(g/100g Ac. Cítrico)	17	0,13	0,84	0,10	0,92	192
Ratio(SST/ATT)	11	2,62	0,40	2,39	0,56	192
Massa fresca(g)	9	25,16	0,63	20,2	0,79	192
Diâmetro longitudinal(mm)	10	4,17	0,68	3,01	0,85	192
Diâmetro transversal(mm)	10	3,65	0,61	2,62	0,82	192

SST = Sólidos solúveis totais; ATT = Acidez total titulável; *Ratio* = razão SST/ATT; SEV, SEC = erro padrão da validação e calibração; n Cal = universo amostral; r Val e Cal = coef. de correlação de Pearson da validação e calibração.



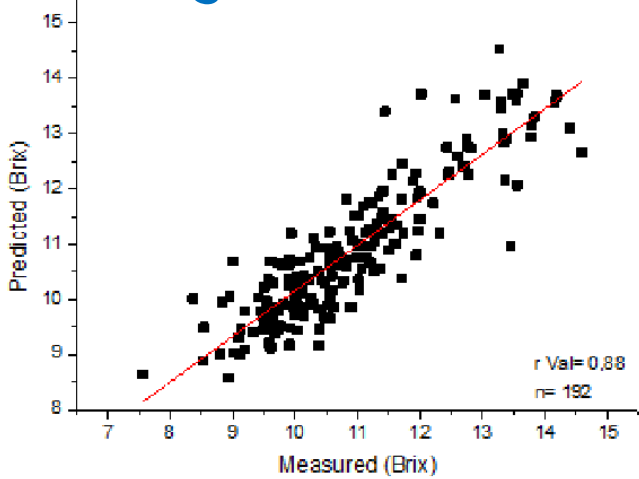


Figura 26 - Sólidos solúveis dos frutos medidos e preditos pelo modelo PLS-NIR no conjunto de validação interna

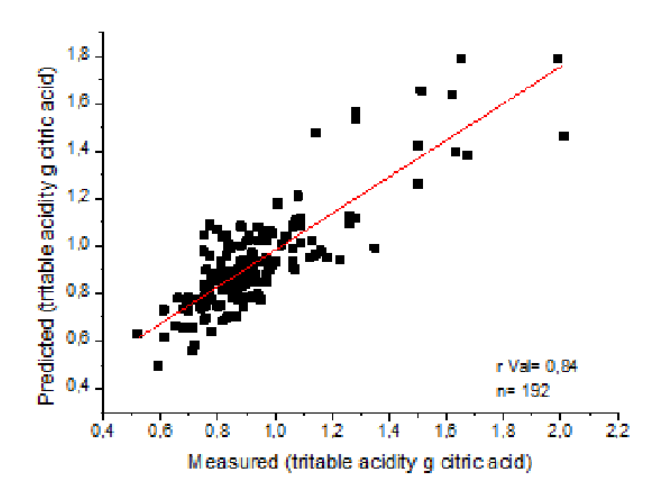


Figura 27 - Acidez total titulável dos frutos medidos e preditos pelo modelo PLS-NIR no conjunto de validação interna



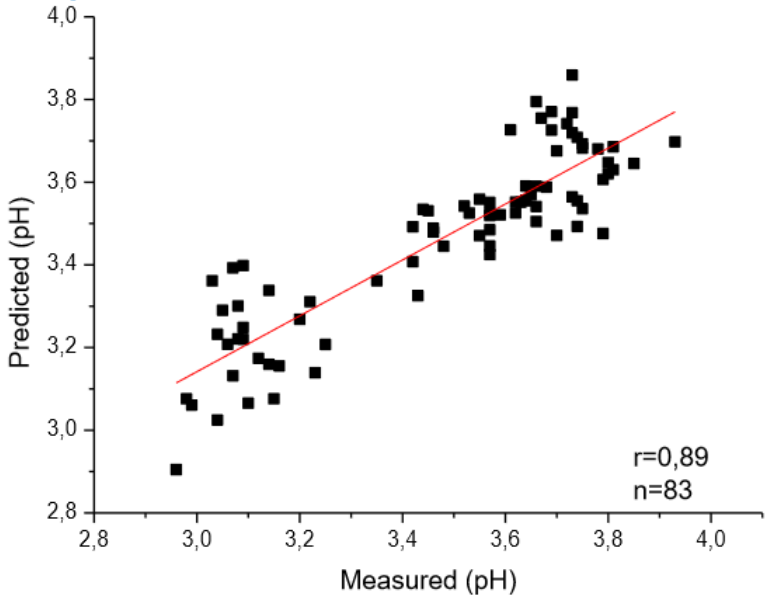


Figura 28 - Potencial Hidrogeniônico dos frutos medidos e preditos pelo modelo PLS-NIR no conjunto de validação interna

Tabela 5 - Modelos PLS-NIR em conjunto de validação externa

Análises	SEP	r	Fatores	n
SST (°brix)	0,71	0,92	14,00	83
pН	0,13	0,89	18,00	83
ATT(g/100g Ac. Cítrico)	0,30	0,92	17,00	83

SEP = Erro padrão da predição; r = coeficiente de Pearson da predição; n = universo amostral



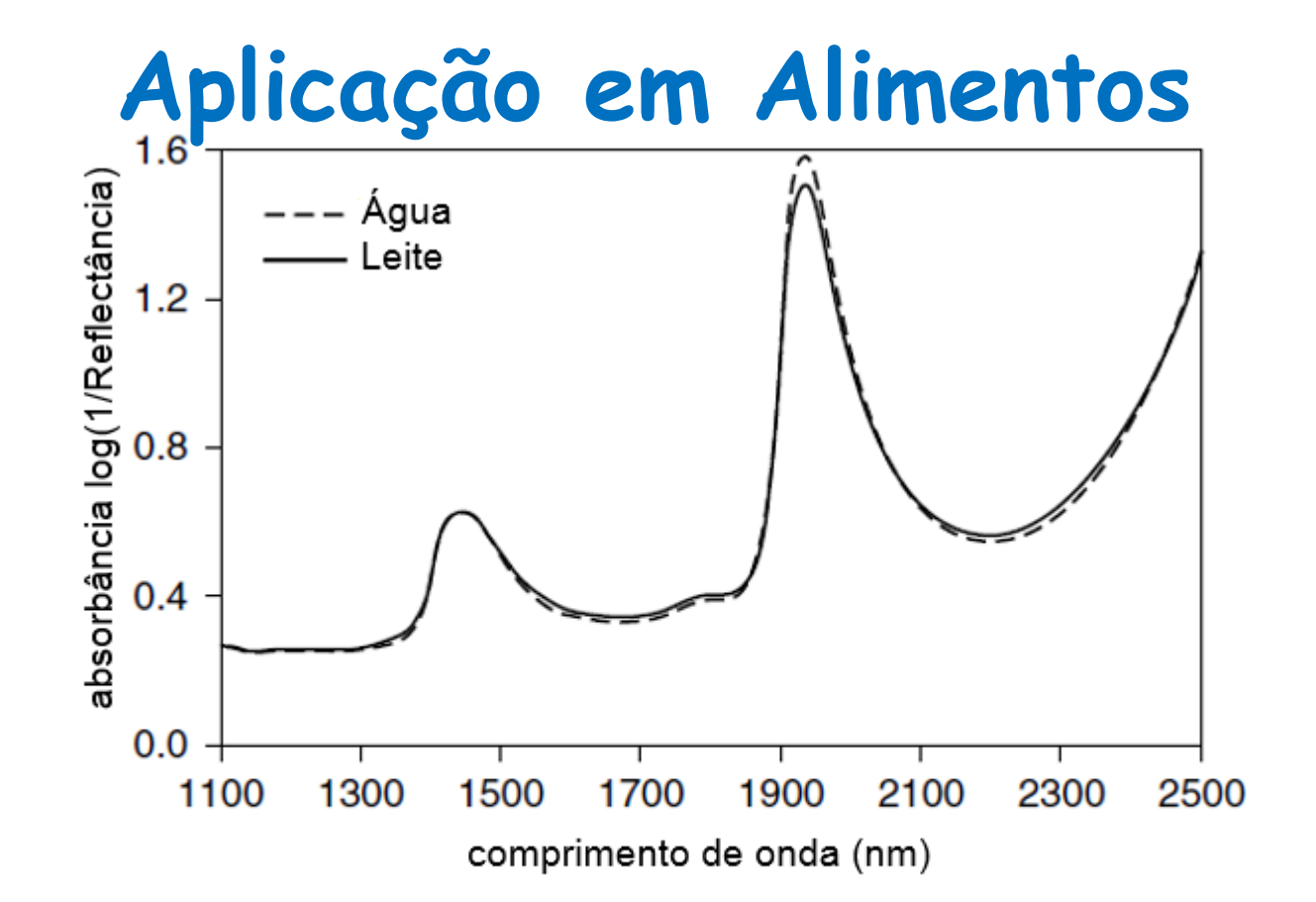


Figura 2.8 – Espectro de reflectância NIR do leite e da água. Adaptado de Burns e Ciurczak (2008).



Tabela 1: Variações nos valores obtidos pelos métodos de referência para amostras de soja trituradas

Índice de acidez	Proteína bruta	Lipídios totais	Umidade
(%)	(%)	(%)	(%)
0,22 - 4,36	33,09 - 40,11	16,04 - 26,33	1,17 - 9,76

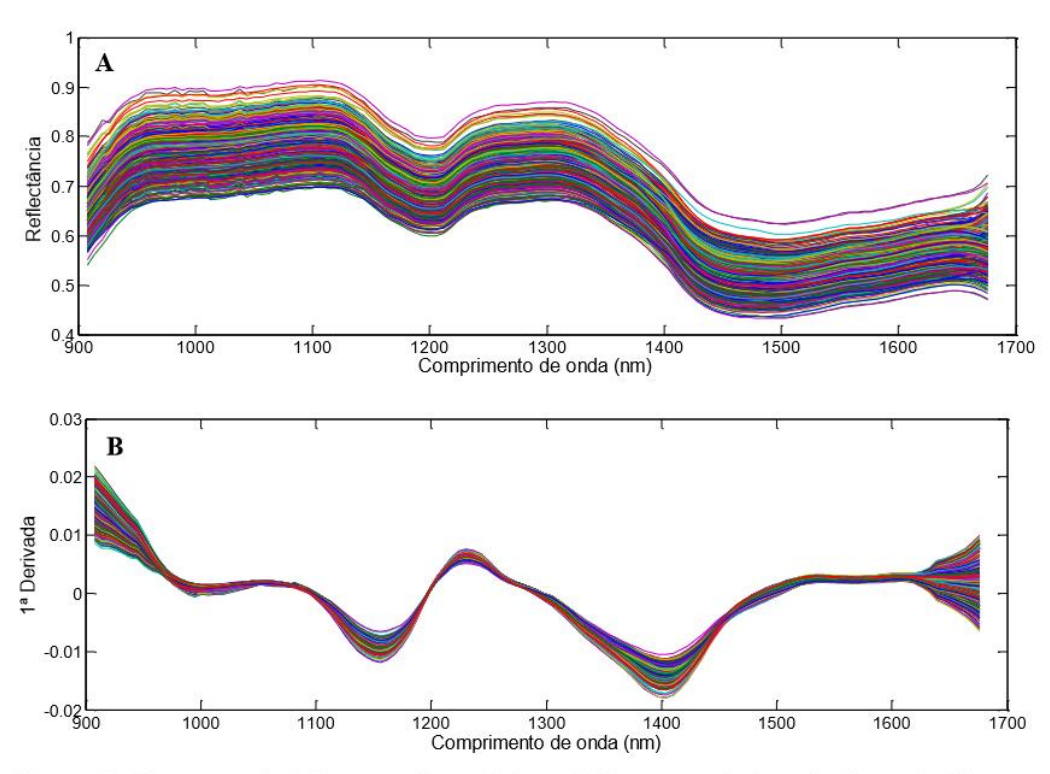


Figura 2: Espectros de infravermelho próximo obtidos a partir de soja triturada (A) sem pré-processamento e (B) após aplicação de primeira derivada.



Tabela 2: Conjuntos de amostras utilizados para a construção dos modelos e *outliers* detectados e removidos para cada parâmetro.

Parâmetro	Conjunto de Calibração	Conjunto de Validação	Outliers
Índice de acidez	348	175	69
Proteína bruta	342	170	80
Lipídios totais	346	154	92
Umidade	349	158	85



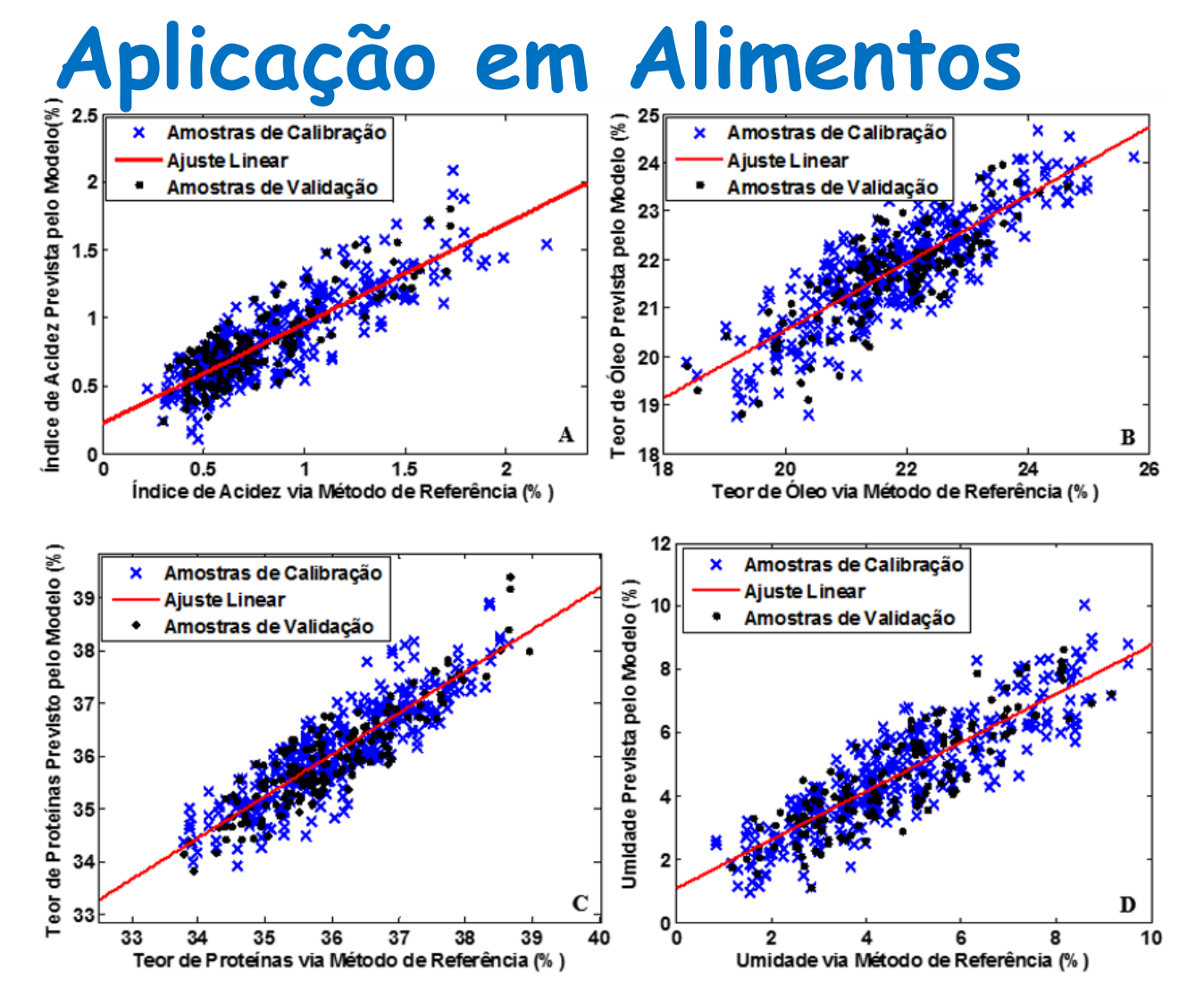


Figura 4: (A) Ajuste do modelo para índice de acidez; (B) Ajuste do modelo para lipídios totais; (C) Ajuste do modelo para proteína bruta e (D) Ajuste do modelo para teor de umidade. (x) Amostras de Calibração (●) Amostras de Validação.



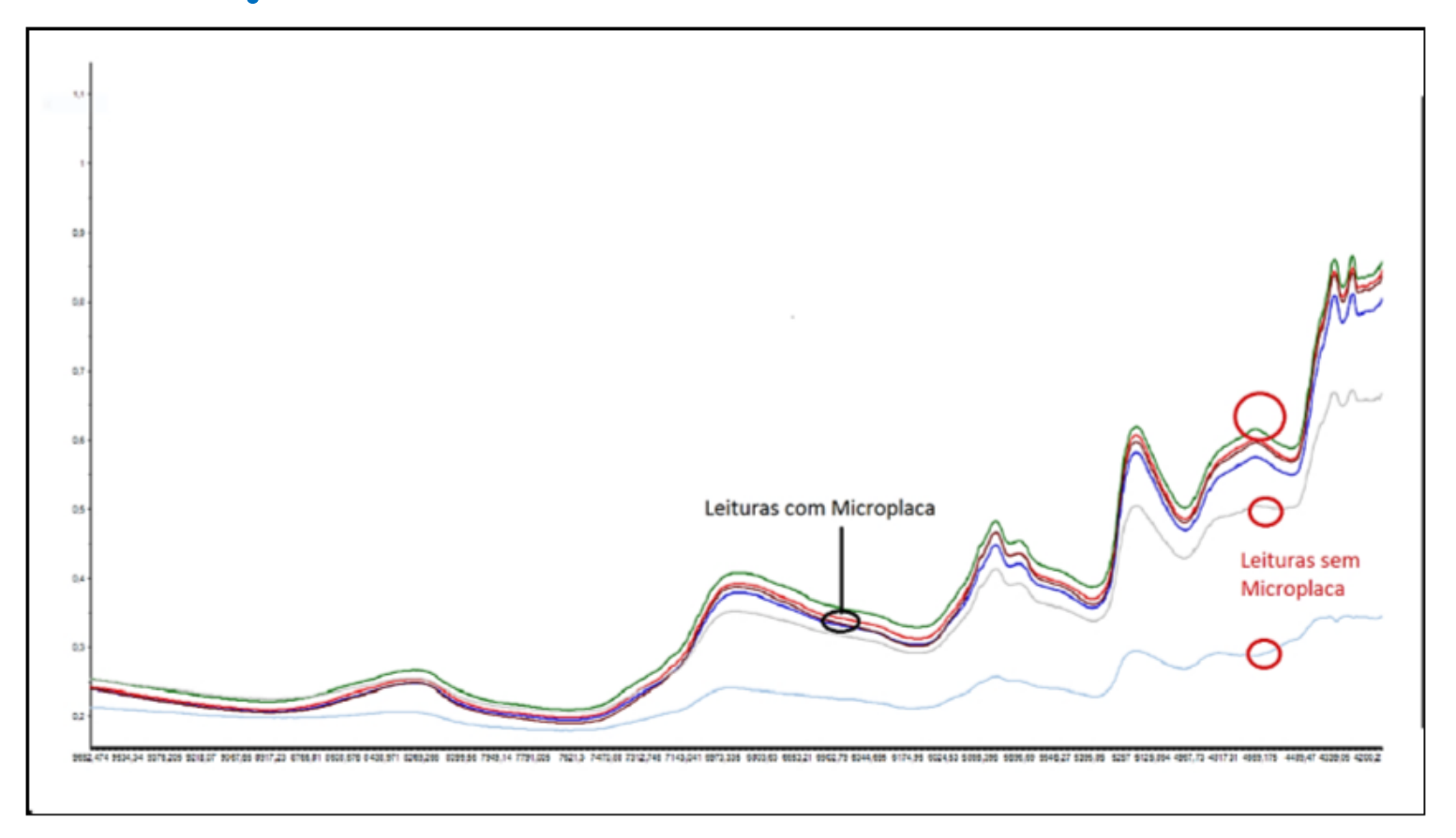


Figura 2. Diferenças entre leituras de uma mesma amostra de polpa de açaí seca e lida com e sem a microplaca de alumínio.

Proteína e Percentual Lipídico

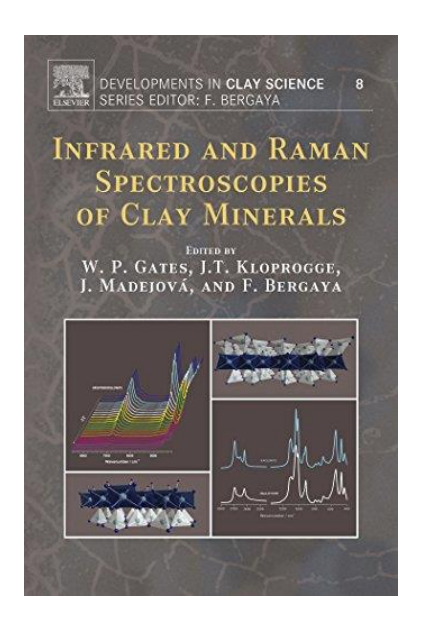


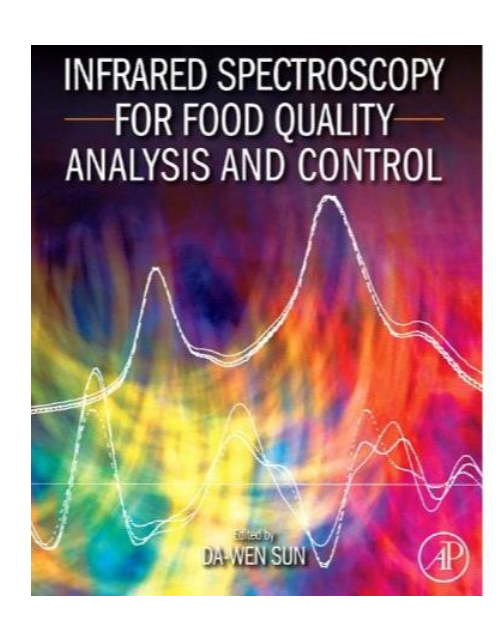
Considerações Finais

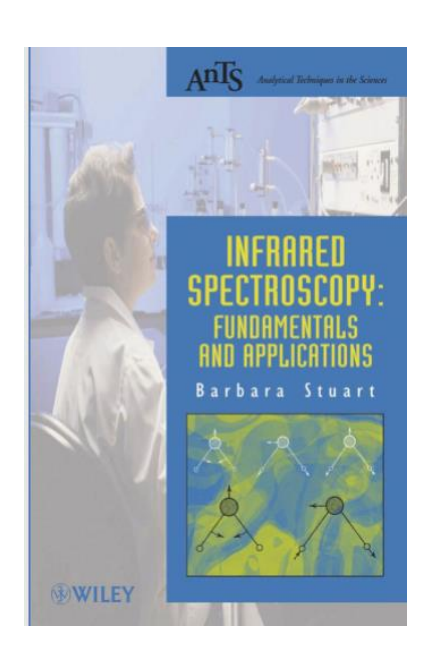
- □ NIR é utilizado para análise de constituintes em teores em percentuais, possui limitação para compostos orgânicos;
- NIR não é a técnica a ser aplicada em concentrações baixas (mg, μg)
- Técnicas complexas são necessárias para atendimento de requisitos estatutários, regulamentares e requisitos de cliente (mg, μg, ng);
- MIR normalmente é utilizado para detecção fraudes, ou em aplicações onde o NIR não atende

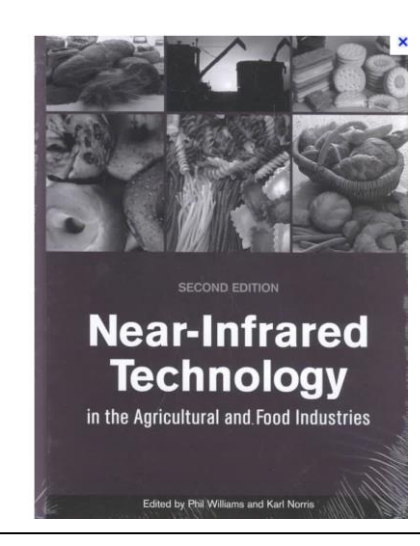


Referências











Bibliografia

- Oliveira, G. DETERMINAÇÃO DE PARÂMETROS DE QUALIDADE DO MARACUJÁ (Passiflora edulis f. Flavicarpa) POR ESPECTROSCOPIA MID E NIR E CALIBRAÇÃO MULTIVARIADA, 2014 Tese Universidade Federal do Paraná
- Machado, S. S. Quantificação da capacidade antioxidante e compostos fenólicos em resíduos vitivinícolas por espectroscopia de infravermelho próximo. Dissertação de Mestrado. Universidade do Porto. 2015
 - Milani, M.P. Modelos de classificação de sistemas de produção de leite e quantificação de ácidos graxos por espectroscopia NIR. 2016 Tese. Universidade Federal de Santa Maria.
 - Flores, D. Sistemas não invasivos para classificação de laranjas por meio de parâmetros físico-químicos.". Dissertação. 2015. Escola Superior de Agricultura "Luiz de Queiroz



Bibliografia

- . Pasquini, Near Infrared Spectroscopy: Fundamentals, Practical Aspects and Analytical Applications, J. Braz. Chem. Soc., 14, 198-219 (2003).
- Phil Williams and Karl Norris, Near-Infrared Technology in the Agricultural and Food Industries, 2nd ed., AACC Inc, St. Paul, MI, 2001.
- Donald A. Burns and Emil W. Ciurczak, Handbook of NearInfrared Analysis,
 2nd ed. Marcel Dekker, Inc., New York, 2001.
- Santos, L. Métodos Alternativos para análise rápida de parâmetros de qualidade da soja. Dissertação de Mestrado. Universidade Federal do Paraná. 2017.
- J.J.Workman Jr., Interpretative Spectroscopy for Near Infrared, Appl. Spectrosc. Rev., 31, 251-320 (1996). 5. L. Bokobza, Near Infrared Spectroscopy, J. NIRS, 6, 3-17 (1998).
 - https://online.unisc.br/seer/index.php/tecnologica/article/viewFile/3754/3008







Dúvidas?



Renata Cerqueira E-mail: renata_cerqueirafar@yahoo.com.br